

การทดสอบการควบคุมแบบไฮบริดด้วยแรงแบบอิมพลิชิตสำหรับแขนกล

Implementation of The Hybrid Control with An Implicit Force for a Manipulator

รศ.ดร.วิญญาณ์ แสงวิระพันธุ์ศิริ นวาร มัญญาวรจันทร์
ภาควิชาวิศวกรรมเครื่องกล คณะวิศวกรรมศาสตร์ จุฬาลงกรณ์มหาวิทยาลัย
Email: fmevsv@eng.chula.ac.th

บทคัดย่อ

งานวิจัยนี้เป็นการศึกษาวิธีการนำเอาระบบควบคุมแบบสมรรถห่วงแรงและตำแหน่งมาใช้กับแขนกลจุฬา 2 ซึ่งเป็นแขนกลที่ได้พัฒนาขึ้นในห้องทดลอง ซึ่งระบบควบคุมแรงที่ใช้นั้นไม่เพียงแต่ใช้ระบบควบคุมแรงแบบอิมพลิชิตเท่านั้น แต่ยังได้ทำการทดลองเบรียบเทียบกับระบบควบคุมแรงแบบเอกสาร์เพลซิทอิกด้วย ซึ่งวิธีการควบคุมแรงแบบอิมพลิชิตนี้จะเป็นการเพิ่มเสถียรภาพให้กับระบบดังจะเห็นได้จากผลการทดลอง นอกจากนี้ระบบควบคุมแบบอิมพลิชิตที่ใช้นั้นยังได้นำเอาวิธีการหาค่าความแข็งตึงแบบออนไลน์มาใช้ด้วย

การทดลองนั้นทำกับวัสดุแวดล้อมหลายชนิด เช่น แผ่นเหล็กที่แข็งเกร็ง วัสดุอ่อนตัว แผ่นเหล็กที่มีความหยุ่นตัว และวัสดุที่พื้นผิวไม่ต่อเนื่อง ผลการทดลองแสดงให้เห็นว่าเมื่อควบคุมแรงและตำแหน่งของแขนกลที่กระทำกับวัสดุอ่อนตัวหรือหยุ่นตัวได้นั้น การควบคุมแรงแบบอิมพลิชิตจะให้ผลตอบสนองของแรงที่ดีกว่าเมื่อเทียบกับการควบคุมแรงแบบเอกสาร์เพลซิท นอกจากนี้เมื่อควบคุมแรงและตำแหน่งของแขนกลที่กระทำกับวัสดุที่พื้นผิวไม่ต่อเนื่องนั้น การควบคุมแรงแบบอิมพลิชิตยังสามารถรักษาเสถียรภาพของการสัมผัสระหว่างแขนกลและวัสดุได้ดีกว่าการควบคุมแรงแบบเอกสาร์เพลซิทอิกด้วย

Abstract

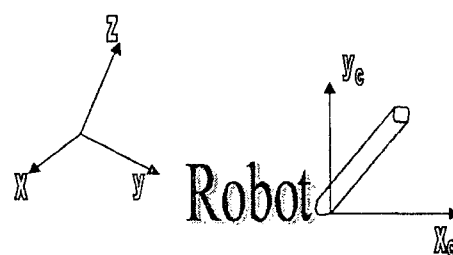
This thesis is to study the implementation techniques of Hybrid force/position control for a manipulator arm, the Chula II. The Chula II, the five-axis SCARA type robot, is developed in the Laboratory. Not only Implicit Force control is carried out in this thesis, the Explicit Force control is also used as the reference for comparison. The

identification of the stiffness between manipulator and environment is included in the Implicit Force control technique. This method will improve the system's stability as shown in the experiments.

The experiments have been done with various types of environment, such as rigid steel plate, soft material, flexible steel plate and discontinuous surface. The results shown that the implicit force control gives better force response performance compare to the explicit force control for soft material and flexible steel plate. And the implicit force control can maintain the contact stability while moving on the discontinuous surface in contrast to the explicit force control.

1 บทนำ

การใช้งานแขนหุ่นยนต์ในงานที่ซับซ้อนนั้น บ่อยครั้งที่ไม่เพียงแต่ต้องควบคุมตำแหน่งของแขนหุ่นยนต์ แต่ต้องควบคุมแรงที่กระทำกับปลายแขนหุ่นยนต์ด้วย เช่นรูปที่ 2.1 แสดงการใช้แขนกลเพื่อจับชิ้นส่วนเขียนกระดาษคำ จะเห็นได้ว่าการควบคุมแบบตำแหน่งเพียงอย่างเดียวหนึ่นไม่เพียงพอสำหรับการควบคุมแขนกล เนื่องจากถ้าตำแหน่งของปลายแขนกลผิดพลาดจะทำให้ชิ้นส่วนหลุดรอด หรือชิ้นส่วนไม่สัมผัสถกับกระดาษคำ ดังนั้นการเขียนอักษรลงบนกระดาษคำจึงต้องควบคุมตำแหน่งบนกระดาษของกระดาษคำ ในขณะที่ควบคุมแรงในแนวตั้งจากกับกระดาษคำ



รูปที่ 1.1 แสดงรูปของ Compliant Frame

ตามรูปที่ 1.1 นั้น เฟรม xyz คือเฟรมที่กำหนดตำแหน่งปลายแขนกับโลก หรือเฟรมที่มีจุดศูนย์กลางอยู่ที่จุดที่กำหนดโดยเฟรม $x_c y_c z_c$ คือ คอมไพลอันท์เฟรม (Compliant Frame) หรือระบบโครงสร้างเดินทางวัตถุที่แขนหุ้นยนต์กระทำ ณ เวลาใดเวลาหนึ่ง โดยแต่ละแกนของเฟรมสามารถควบคุมตำแหน่ง (Position Control) หรือ ควบคุมแรง (Force Control) แบบใดแบบหนึ่งเท่านั้น จากรูปที่ 1.1 ขณะที่ปลายชอร์ล์กยังไม่สัมผัสระดานดำเนินปลายแขนสามารถเคลื่อนที่โดยมีระดับความเป็นอิสระ หรือ degree of freedom (d.o.f.) เท่ากับ 6 โดยที่ 3 d.o.f แรกเป็นการกำหนดตำแหน่งหรือ position และอีก 3 d.o.f ที่เหลือเป็นการกำหนดทิศทาง (orientation) แต่เมื่อเป็นการควบคุมแรง (force) หรือแรงบิด (torque) และค่าระดับความอิสระนี้จะเท่ากับ 0 แต่ขณะที่ปลายชอร์ล์กเริ่มสัมผัสกับกระดานดำเนิน ค่าระดับความอิสระของ การควบคุมแบบตำแหน่งจะลดลงไปในทิศทางของแกน z (z-direction) และค่าระดับความอิสระของการควบคุมแบบแรงจะเกิดขึ้นในทิศทางของแกน z และถ้าสมมุติว่าปลายชอร์ล์กถูกยึดติดแน่นกับกระดานดำเนิน ค่าระดับความอิสระของการควบคุมแรงกับแรงบิดจะเท่ากับ 6 แต่ค่าระดับความอิสระของการควบคุมตำแหน่งกับทิศทางจะมีค่าเป็นศูนย์ ในที่นี้เรียกเฟรม $x_c y_c z_c$ ว่า คอมไพลอันท์เฟรม

จากที่กล่าวมาจะเห็นได้ว่า ความสัมพันธ์ระหว่างการควบคุมตำแหน่ง และการควบคุมแรง นั้นสามารถแทนในรูปแบบของเงื่อนไขบังคับโดยธรรมชาติ (Natural constraints) และเงื่อนไขบังคับเทียม (Artificial constraints) [อ้างอิง 1] ได้ โดยจากตัวอย่างข้างต้น กระดานดำเนินให้เกิดเงื่อนไขบังคับโดยธรรมชาติของตำแหน่งในทิศทางของแกน z และถ้าแรงเสียดทานระหว่างชอร์ล์กและกระดานดำเนินศูนย์ ก็จะเกิดเงื่อนไขบังคับโดยธรรมชาติของแรงในทิศทาง xy ส่วนตัวอักษรที่เขียนนั้นเป็นเงื่อนไขบังคับเทียมของตำแหน่งในทิศ xy และ เงื่อนไขบังคับเทียมของแรงจะเกิดในทิศ z ซึ่งเห็นได้ว่าในแต่ละระดับของความอิสระนั้น ไม่สามารถควบคุมทั้งแรงและตำแหน่งได้ในเวลาเดียวกัน

1.1 การควบคุมแบบเอกสารพลิชิก

นักวิจัยจำนวนมากได้ศึกษาการควบคุมแรงที่กระทำกับแขนกลในขณะที่แขนกลเคลื่อนที่ เช่น M.H. Raibert and J.J. Craig ([1], 1981) ได้ศึกษาเรื่อง "Hybrid position/force control of manipulators" หลักการของ Raibert และ Craig คือ จะแบ่งการควบคุมเป็น 2 ส่วนแยก

จากกัน โดยส่วนแรกเป็นส่วนควบคุมตำแหน่งปลายแขนกลในแนวสัมผัสน้ำหนัก ส่วนที่สองเป็นส่วนควบคุมแรงที่กระทำกับปลายแขนกลในแนวตั้งจากน้ำหนัก ซึ่งแนวคิดนี้มาจาก Paul, R., และ Shimano, B. ([7], 1976) ที่ได้ศึกษาเรื่อง "Compliance and Control" ไว้

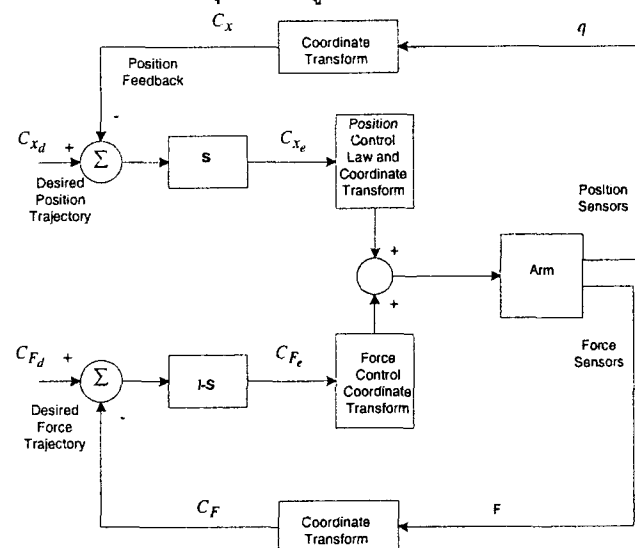
วิธีการควบคุมของ M.H. Raibert และ J.J. Craig นั้นจะแยกทิศทางของการควบคุมโดยอาศัย เวคเตอร์เลือกทิศ (Selection Vector) $\sigma = [\sigma_x \ \sigma_y \ \sigma_z]$ ซึ่งนิยามไว้ว่าถ้าเงื่อนไขบังคับโดยธรรมชาติของตำแหน่งเกิดขึ้นในทิศใด ให้ค่า σ_i ของทิศนั้นเป็นศูนย์ ดังนั้นจากตัวอย่างข้างต้นสามารถเขียนเวคเตอร์เลือกทิศได้ดังนี้

$$\sigma = [1 \ 1 \ 0] \quad (1.1)$$

คอมไพลอันท์เซลคัชันเมตริก (Compliant selection matrix) นิยามโดย $S = \text{diag}[\sigma]$ นั่นคือ

$$S = \begin{bmatrix} \sigma_x & 0 & 0 \\ 0 & \sigma_y & 0 \\ 0 & 0 & \sigma_z \end{bmatrix} \quad (1.2)$$

ซึ่งคอมไпалอันท์เซลคัชันเมตริก นี้จะช่วยในการแยกทิศทางการควบคุมโดยสามารถเปลี่ยนแผนภาพบล็อก (Block Diagram) ของการควบคุมได้ตามรูปที่ 1.2



รูปที่ 1.2 แสดงแผนภาพบล็อกของการควบคุมแบบผสมระหว่างแรงและตำแหน่ง

จากรูปที่ 1.2 ซึ่งแสดงแผนภาพบล็อกของการควบคุมแบบผสมระหว่างแรงและตำแหน่ง ของ Craig และ Raibert จะเห็นได้ว่า วงรอบ (Loop) ด้านบนเป็นการควบคุมตำแหน่ง ส่วนวงรอบด้านล่างเป็นการควบคุมแรง สำหรับการควบคุมตำแหน่งนั้นทำโดยวัดตำแหน่งของแขนกลออกมาเพื่อนำมาลบกับตำแหน่งของแขนกลที่ต้องการ แล้วนำไปคูณกับ

เมตريكซ์ S ซึ่งเป็นเมต릭ซ์เลือกทิศของการควบคุม ตำแหน่ง หลังจากนั้นจะส่งค่าไปยังตัวควบคุมตำแหน่งต่อไป ส่วนของที่ควบคุมแรงนั้น จะวัดแรงที่กระทำกับปลายแขนหุ้นยนต์เพื่อมาลบจากแรงที่ต้องการให้แขนหุ้นยนต์สัมผัสถกับวัสดุ กลไกเป็นค่าความผิดพลาดของแรงแล้วนำมาคูณกับเมต릭ซ์ $I-S$ ซึ่งเป็นเมต릭ซ์ที่เลือกทิศควบคุมแรง หลังจากนั้นจึงส่งเข้าไปยังตัวควบคุมแรง ซึ่งจะคำนวณหาค่าสัญญาณควบคุมที่ใช้สำหรับควบคุมแขนหุ้นยนต์ต่อไป วิธีการควบคุมแรงที่ใช้นี้เรียกว่า "การควบคุมแรงแบบเอกซ์เพลิชิก (Explicit Force Control)" ซึ่งเป็นการควบคุมแรงโดยตรง

1.2 การควบคุมแรงแบบอิมพลิชิก

ต่อมามีผู้เสนอว่าการจะควบคุมแรงนั้นสามารถควบคุมผ่านตัวควบคุมตำแหน่งได้ ซึ่งเรียกวิธีการควบคุมแรงแบบนี้ว่า "การควบคุมแรงแบบอิมพลิชิก (Implicit Force Control)" เช่น N. Hogan ([2], 1985) ได้ศึกษาเรื่อง "Impedance Control; An approach to manipulation" ซึ่งวิธีควบคุมแบบอิมพลิเดนซ์นี้เป็นวิธีการหนึ่งของการควบคุมแรงแบบอิมพลิชิก โดยมีหลักการดังนี้

จากสมการการเคลื่อนที่ของแขนกล

$$M(q)\ddot{q} + C(q, \dot{q})\dot{q} + g(q) + d(\dot{q}) = \tau - \tau_e \quad (1.3)$$

โดยที่

q, \dot{q}, \ddot{q} แทน เวคเตอร์ ($nx1$) ของมุมรอยต่อ, ความเร็ว และความเร่งของรอยต่อ ตามลำดับ

$M(q)$ แทนเวคเตอร์ ($nx1$) ของเมต릭ซ์ความเนื่อย (inertia matrix) ที่เป็นโพธิ์ทีฟ เดฟนิต เมต릭ซ์ (Positive definite matrix)

$C(q, \dot{q})\dot{q}$ แทนเวคเตอร์ ($nx1$) ของแรงหนีศูนย์กลาง (Centrifugal) และแรงคอริโอลิส (Coriolis)

$g(q)$ แทนผลของแรงโน้มถ่วงโลก

$d(\dot{q})$ แทนผลของแรงเสียดทานที่กระทำกับรอยต่อ

$\tau_e = J^T(q) \cdot f_e$ แทนเวคเตอร์ ($nx1$) ของ เจนอรัลไทร์ จอยน์ ทอร์ก (generalized joint torques) ที่เกิดจากแขนกลกระทำกับวัสดุแวดล้อม

f_e แทนแรงที่แขนกลสัมผัสถกับวัสดุแวดล้อมซึ่งวัดได้จากอุปกรณ์วัดแรง

J แทนจาร์โคเมต릭ซ์ (Jacobian Matrix) ซึ่งใช้หาความสัมพันธ์ระหว่างความเร็วของปลายแขนกลกับความเร็วของรอยต่อแต่ละรอยต่อ

การควบคุมแรงแบบอิมพลิเดนซ์ (Impedance control) เป็นการควบคุมที่ไม่ได้พยายามควบคุมตำแหน่งการเคลื่อนที่หรือแรงตามลำพัง แต่พยายามสร้างความสัมพันธ์ระหว่างแรงและการเคลื่อนที่ตามสมการ

$$M_d \ddot{x}_e - B_d (\dot{x}_v - \dot{x}) - K_d (x_v - x) = -f_e \quad (1.4)$$

โดยที่

M_d แทนค่าความเฉื่อย (Inertia) ของการตอบสนองที่ต้องการ B_d แทนค่าความหน่วง (damping) ของการตอบสนองที่ต้องการ

K_d แทนค่าความแข็งดึง (Stiffness) ของการตอบสนองของระบบ

x_v แทนค่าตำแหน่งอ้างอิงที่ต้องการให้แขนกลเคลื่อนที่ไปถึง

x แทนค่าตำแหน่งของปลายแขนกล ณ ปัจจุบัน

\dot{x}_v แทนค่าความเร็วของแขนกลที่ต้องการ

\dot{x} แทนค่าความเร็วของตำแหน่งปลายแขนกล ณ ปัจจุบัน

\ddot{x}_e แทนค่าความเร่งของตำแหน่งปลายแขนกลที่ต้องการ

สำหรับตำแหน่งอ้างอิงที่ต้องการให้แขนกลเคลื่อนที่ไปถึงนั้น Seul Jung และ T.C. Hsia (1995) ได้ศึกษาไว้ในเรื่อง "On neural network application to robust impedance control of robots manipulators" ซึ่งได้กล่าวไว้ว่า ตำแหน่งที่ต้องการให้แขนกลเคลื่อนที่ไปถึงสามารถหาจากค่าของแรงที่ต้องการให้แขนกลกดและค่าตำแหน่งของวัสดุแวดล้อมตามสมการ

$$x_v = x_e + \frac{f_d}{k_d} \quad \text{if } f_e = 0 \quad (1.5)$$

$$x_v = x_e + f_d \cdot \frac{k_d \cdot (x - x_e) + f_e}{k_d \cdot f_e} \quad \text{if } f_e \neq 0 \quad (1.6)$$

โดยที่ x_e แทนค่าตำแหน่งของวัสดุแวดล้อม

f_d แทนค่าของแรงที่ต้องการให้แขนกลกด

เมื่อได้ตำแหน่งที่สั่งให้แขนกลกดแล้ว ต่อมากำหนดค่าสัญญาณอินพุต (Input) ที่ใส่เข้าไปในระบบ ซึ่งจากที่ R.Volpe และ P.Khosla ได้ศึกษาไว้ในเรื่อง "The equivalence of second order impedance control and proportional gain explicit force control" จะได้ว่าค่าสัญญาณอินพุต (Input) ที่ใส่เข้าไปในระบบเพื่อให้ความสัมพันธ์ระหว่างตำแหน่งและแรงเป็นไปตามสมการที่ (2.4) จะมีค่าตามสมการข้างล่างนี้

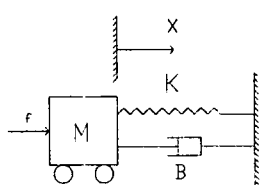
$$\tau = M(q)\ddot{q}_t + C(q, \dot{q})\dot{q} + g(q) + d(\dot{q}) + \tau_e \quad (1.7)$$

$$\ddot{q}_t = J^{-1}(q)[\ddot{x}_t - J(q)\dot{q}] \quad (1.8)$$

$$\ddot{x}_t = M_d^{-1}[B_d \cdot \dot{e}_v + K_d \cdot e_v - f_e] \quad (1.9)$$

โดยที่ \dot{e}_v, e_v แทนค่าความผิดพลาดของความเร็วปลายแขนกลในระบบพิกัดฉาก (Cartesian Coordinate) ซึ่งสมการที่ (1.7) เป็นกฎการควบคุมคุณภาพแขนกลโดยใช้พลวัตแบบย้อนกลับ (manipulator inverse dynamics control law) ส่วนสมการที่ (1.8) เป็นการเปลี่ยนจากความเร่งของปลายแขนกลที่ต้องการในพิกัดฉาก เป็นพิกัด rotary ต่อของแขนกล (Joint Coordinate) (ซึ่งรายละเอียดดูได้จากหัวข้อเรื่อง "Resolve Acceleration Control of Manipulator") และสมการที่ (1.9) แทนความเร่งของหุนที่ต้องการสำหรับตัวควบคุมแรงแบบอิมพิเดนซ์

จากการควบคุมสมรรถนะของการควบคุมตำแหน่งและการควบคุมแรงแบบต่าง ๆ ที่มีผู้ศึกษามากก่อนหน้านี้ จะเห็นได้ว่าความแตกต่างระหว่างการควบคุมแรงแบบเอกซ์เพลซิทิกับการควบคุมแรงแบบอิมพิเดนซ์ เช่น การควบคุมอิมพิเดนซ์ที่เห็นได้ชัดคือ การควบคุมแรงแบบเอกซ์เพลซิทิกเป็นการควบคุมแรงโดยตรงทำให้ผลตอบสนองของการควบคุมแรงแบบนี้ค่อนข้างเร็ว แต่การควบคุมแรงแบบอิมพิเดนซ์มีเสถียรภาพมากกว่า เนื่องจากว่าการควบคุมแรงแบบอิมพิเดนซ์นี้ไม่ควบคุมแรงโดยตรงแต่จะคำนวณค่าตำแหน่งหรือความเร็วของปลายแขนกลเพื่อให้แขนกลลดรัตตุแล้วเกิดแรงกระแทกับปลายแขนกลตามที่ต้องการซึ่งนักศึกษาต้องคำนึงถึงสิ่งเหล่านี้เพื่อให้ได้ผลลัพธ์ที่ดี ซึ่งการควบคุมแรงผ่านตัวควบคุมตำแหน่งนี้ทำให้ระบบมีเสถียรภาพดีกว่า เนื่องจากการควบคุมตำแหน่งมีลักษณะเป็นตัวกรองผ่านตัว (low pass filter) ซึ่งทำให้แขนกลมีเสถียรภาพดีขึ้นแม้ว่าจะควบคุมแรงในทิศทางใดๆ ขณะที่ไม่สัมผัสถกับวัสดุแล้วล้อม ซึ่งสามารถพิสูจน์ได้จากการนี้ของระบบมวลกับสปริงและตัวหน่วงตามรูปที่ 1.3



รูปที่ 1.3 แสดงรูปของแบบจำลองของระบบมวล, สปริงและตัวหน่วง

จากรูปที่ 1.3 สมการการเคลื่อนที่ของระบบคือ

$$f = M\ddot{x} + B\dot{x} + Kx \quad (1.10)$$

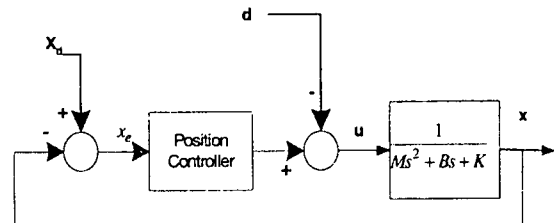
แทนสมการของแขนกลขณะสัมผัสถกับวัสดุแล้วล้อม

โดยที่ M, B, K แทน มวล, สัมประสิทธิ์ความหน่วง และค่าความแข็งตึงของสปริงตามลำดับ, f แทน แรงที่ใส่เข้าไปในระบบ

เมื่อทำการควบคุมตำแหน่งหรือความเร็วของมวล M โดยมีสิ่งรบกวนจากภายนอกเข้ามา เช่น แรงเสียดทาน เป็นต้น ทำให้สมการที่ (1.10) เปลี่ยนไปเป็นสมการที่ (1.11)

$$f + d = M\ddot{x} + B\dot{x} + Kx \quad (1.11)$$

โดย d แทนแรงที่มาจากสิ่งรบกวนภายนอก (disturbance) ถ้าทำการควบคุมระบบตามสมการที่ (1.11) จะสามารถเขียนเป็นแผนภาพบล็อกได้ดังรูป 1.4



รูปที่ 1.4 แสดงแผนภาพบล็อกของการควบคุมตำแหน่งของแบบจำลองแขนกลขณะสัมผัสถกับวัสดุ

เมื่อเขียนสมการของตำแหน่งโดยให้ G_c แทนฟังก์ชันถ่ายโอน (Transfer function) ของตัวควบคุมตำแหน่งจะได้ว่า

$$x(s) = \frac{(x_d(s) \cdot G_c(s)) - d(s)}{Ms^2 + Bs + K + G_c(s)} \quad (1.12)$$

จะเห็นได้ว่าระบบควบคุมมีสิ่งรบกวนภายนอก d เข้ามาในระบบ การควบคุมตำแหน่งจะทำให้สิ่งรบกวนภายนอกนี้ผ่านตัวกรองผ่านตัวซึ่งทำให้ระบบมีเสถียรภาพมากขึ้น และนอกจากนั้นแล้วตัวควบคุมแรงแบบเอกซ์เพลซิทิกเวลาที่ควบคุมให้แขนกลเคลื่อนที่เข้ามาสัมผัสถกับวัสดุในตอนเริ่มแรกนั้น ต้องควบคุมตำแหน่งของแขนกลก่อน เมื่อแขนกลเริ่มสัมผัสถกับวัสดุก็จะเปลี่ยนการควบคุมแบบตำแหน่งเป็นการควบคุมแรง โดยผ่านการควบคุมตำแหน่ง ทำให้ไม่ต้องเปลี่ยนรูปแบบการควบคุมจากการควบคุมตำแหน่งเป็นการควบคุมแรงในช่วงที่แขนกลเข้าสัมผัสถกับวัสดุ ซึ่งต่างจากการนี้ของการควบคุมแรงแบบเอกซ์เพลซิทิก

นอกจากนั้นการควบคุมแรงแบบอิมพิเดนซ์ยังหมายความว่า สำหรับนำไปประยุกต์ใช้กับหุนยนต์อุตสาหกรรมทั่วไปได้ง่าย

กว่า เนื่องจากว่าคำสั่งที่สั่งงานหุ่นยนต์อุตสาหกรรมโดยทั่วไปเป็นคำสั่งตำแหน่งให้หุ่นเคลื่อนที่ ดังนั้นถ้าควบคุมแรงโดยผ่านการควบคุมตำแหน่งของแขนกล จึงสามารถส่งคำสั่งไปยังแขนกลได้ทันที ในการวิจัยนี้จึงได้พยายามใช้การควบคุมแรงแบบอิมเพลซิทิกมาใช้ในการควบคุมแบบผสมระหว่างแรงและตำแหน่งของแขนกล

2. ปัญหาของการควบคุมแบบสมรรถห่วงแรงและตำแหน่งของแขนกลโดยใช้การควบคุมแรงแบบอิมเพลซิทิก

ปัญหาของการควบคุมแบบสมรรถห่วงแรงและตำแหน่งทั้งแบบที่ใช้การควบคุมแรงแบบเอกสาร์พลิชิกและควบคุมแรงแบบอิมเพลซิทิกคือปัญหาในการหาลักษณะรูปร่างของวัตถุที่แน่นอน ดังนั้นจึงมีผู้ศึกษาเกี่ยวกับการใช้อุปกรณ์ตรวจรู้แรง (Force sensor) เพื่อหารูปร่างของวัตถุขณะที่ทำการควบคุมแบบสมรรถห่วงแรงและตำแหน่ง เช่น Tsuneo Yoshikawa และ Akiko Sudou ([5], 1990) ได้ศึกษาเรื่อง "Dynamic hybrid position/force control of robot manipulators: Online estimation of unknown constraint" ซึ่งใช้ข้อมูลของแรงมาหาเวกเตอร์ของพื้นผิวทำให้สามารถทราบทิศทางในการควบคุมตำแหน่งและทิศทางในการควบคุมแรง

นอกจากนี้ ปัญหาหลักของการควบคุมแบบสมรรถห่วงแรงและการควบคุมแรงและตำแหน่งโดยใช้การควบคุมแรงแบบอิมเพลซิทิกคือคำสั่งตำแหน่งให้แขนกลกด ถ้าใช้ตำแหน่งจากสมการที่ (1.5) และ (1.6) มาใช้คำนวณแรงบิดของมอเตอร์ในแต่ละรอยด้วยตามสมการที่ (1.7) จะต้องรู้ค่าพารามิเตอร์ของระบบที่ค่อนข้างแม่นยำ เช่น ค่ามวลหรือค่าแรงเสียดทาน ถ้าค่าพารามิเตอร์ดังกล่าวที่นำมาได้มีความแม่นยำจะทำให้ค่าตำแหน่งที่คำนวณเพื่อให้เกิดแรงตามต้องการดังกล่าวมีความแม่นยำตามไปด้วย ทำให้สามารถควบคุมแรงได้ตามที่ต้องการ

3 การควบคุมแบบสมรรถห่วงแรงและตำแหน่งของแขนกลด้วยแรงแบบอิมเพลซิทิก

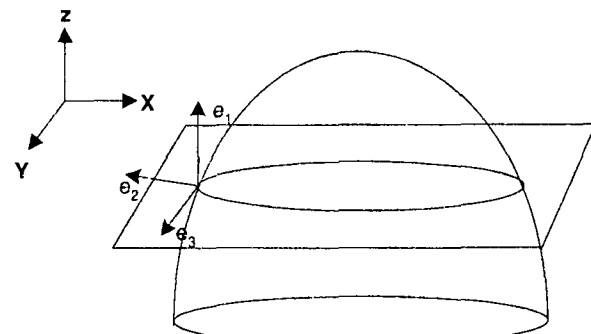
จากที่ได้ศึกษามาข้างต้นจึงมีแนวคิดที่จะนำการควบคุมแรงแบบอิมเพลซิทิกมาประยุกต์ใช้กับการควบคุมแบบสมรรถห่วงแรงและตำแหน่ง ซึ่งเรียกว่าการควบคุมแบบไฮบริดด้วยแรงแบบอิมเพลซิทิกสำหรับแขนกล (Hybrid Control with An Implicit Force for A Manipulator Arm)

โดยที่มีการหาค่าพารามิเตอร์ความแข็งตึง (Stiffness) แบบออนไลน์ (online) เพื่อนำมาคำนวณหาคำสั่งตำแหน่งที่ให้แขนกลกดแบบออนไลน์ด้วย ซึ่งถึงแม้ว่าไม่รู้ค่าพารามิเตอร์ของระบบที่แม่นยำ ก็สามารถควบคุมให้แรงที่แขนกลสัมผัสวัตถุเข้าสู่ค่าที่ต้องการได้เร็ว โดยแนวคิดนี้มาจาก Dragan M. Stokic and Miomir K. Vukobratovic ([6], 1991) ซึ่งได้ศึกษาเรื่อง "An adaptive hybrid control scheme for manipulation robots with implicit force control" ไว้

วิธีนี้เป็นการควบคุมแบบสมรรถห่วงแรงและตำแหน่ง ด้วยแรงแบบอิมเพลซิทิกสำหรับแขนกล โดยแรงแบบอิมเพลซิทิกที่ใช้นี้คือการควบคุมแรงผ่านการควบคุมตำแหน่ง ซึ่งมีการคำนวณหาค่า ความแข็งดึงแบบออนไลน์ เพื่อทำให้การควบคุมแรงมีประสิทธิภาพมากขึ้น วิธีการนี้สามารถสรุปเป็นขั้นตอนของการทำงานดังนี้

- 1) หากทิศทางที่จะควบคุมแรงและตำแหน่ง โดยมีหลักการดังนี้

จากที่ Tsuneo Yoshikawa และ Akiko Sudou ([5], 1990) ได้ศึกษาเรื่อง "Dynamic hybrid position/force control of robot manipulators: Online estimation of unknown constraint" ไว้นั้น เราจะนำข้อมูลจากอุปกรณ์ตรวจรู้แรงมาหารูปร่างของวัตถุ โดยพิจารณาตามรูปที่ 3.1



รูปที่ 3.1 แสดงทิศทางที่จะควบคุมแรงและตำแหน่ง

จากรูปที่ 3.1 จุดประสงค์คือต้องการให้แขนกลเคลื่อนที่ไปบน plane Q โดยที่ควบคุมแรงในทิศดังนั้นจึงต้องการให้แรงที่ด้านหลังของวัตถุ แรงจะดึงแรงจากอุปกรณ์ตรวจรู้แรงที่ปลายแขนกล หลังจากนั้นจะหาทิศทางที่ดึงจากผิวชั้นนอกของวัตถุ

$$e_3 = \frac{f}{\|f\|} \quad (1.13)$$

โดยที่ f แทนแรงที่แขนกลสัมผัสกับวัตถุแล้วล้อม, e_3 แทนเวกเตอร์หนึ่งที่มีทิศเดียวกับแรงที่แขนกลสัมผัสกับวัตถุแล้วล้อม หลังจากนั้นจะหาทิศทางที่ต้องการให้แขนกลเคลื่อนที่จาก

$$e_2 = \frac{w \times e_3}{\|w \times e_3\|} \quad (1.14)$$

โดยที่ w แทนเวคเตอร์หนึ่งหน่วยซึ่งมีทิศดังจากกับระนาบ Q , e_2 แทนเวคเตอร์หนึ่งหน่วยซึ่งแสดงถึงทิศทางที่ต้องการให้แขนกลเคลื่อนที่ สำหรับแกนสุดท้ายหาได้จาก

$$e_1 = \frac{e_2 \times e_3}{\|e_2 \times e_3\|} \quad (1.15)$$

โดยที่ e_1 แทนเวคเตอร์หนึ่งหน่วยที่มีทิศดังจากกับ

ระนาบ Q

2) ทำการคำนวณหาค่าความแข็งดึงของระบบ โดยกำหนดค่าความแข็งดึงเริ่มแรกของผู้วัดถูกให้มีค่าคงที่ค่าหนึ่งเพื่อนำมาคำนวณค่าระยะกดเริ่มต้นก่อน หลังจากนั้นจะคำนวณค่าความแข็งดึงจาก

$$\text{Stiffness} = \text{Stiffness}_0 ; i = 1$$

$$\text{Stiffness} = \frac{F_e}{x} ; i > 1 \quad (1.16)$$

โดยที่ F_e = แรงที่แขนกลกดวัดถูก

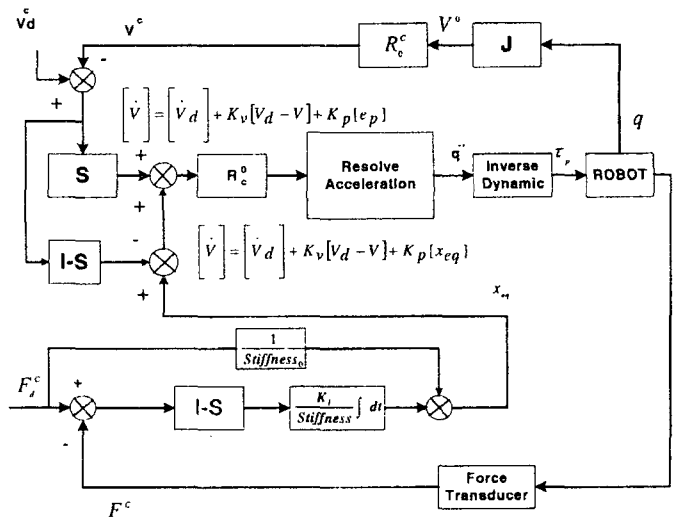
x = ระยะที่สั่งให้แขนกลกด

3) ต่อมาจะหาระยะที่สั่งให้แขนกลกดจากสมการที่(1.17)

$$x = \frac{F_d}{\text{Stiffness}_0} + \int K_i \frac{(F_d - F_e)}{\text{Stiffness}} dt \quad (1.17)$$

สำหรับตัวอินทิเกรต (Integrator) ที่อยู่ในสมการ (1.17) นั้นใช้เพื่อลดค่าผิดพลาดที่สถานะอยู่ตัว (steady state error) เนื่องจากว่าถ้าหาการมีเตอร์ของแขนกลได้ไม่แม่นยำ จะทำให้แรงบิดที่คำนวณได้ไม่สามารถขับแขนกลให้เคลื่อนที่ไปถึงตำแหน่งที่ต้องการได้ ดังนั้นตัวอินทิเกรตจะช่วยให้ค่าความผิดพลาดของแรงที่สถานะอยู่ตัวเข้าใกล้ศูนย์

4) เมื่อคำนวณค่าระยะที่จะกดแล้วจะนำไปเป็นสัญญาณคำสั่งสำหรับตัวควบคุมตำแหน่งในแนวตั้งจากกับวัสดุต่อไป และนำกลับไปใช้ในสมการที่ (1.16) เพื่อหาค่า Stiffness ใน Loop การคำนวณต่อไปอีกด้วย ระบบดังกล่าวสามารถเขียนเป็นแผนภาพล็อกได้ดังรูปที่ 3.2



รูปที่ 3.2 แสดงแผนภาพล็อกของการควบคุมแรงแบบอิมพลิชิต จากรูปที่ 3.2 วงรอบด้านบนเป็นวงรอบที่ควบคุมตำแหน่ง ส่วนวงรอบด้านล่างเป็นการควบคุมแรงผ่านตัวควบคุมตำแหน่งทำให้ระบบหั้งหมดเป็นการควบคุมตำแหน่ง สำหรับการควบคุมตำแหน่งนั้นใช้วิธีรีโซล์ฟแอคชัน (Resolve Acceleration) ซึ่งเป็นการคำนวณหาความเร่งของแต่ละข้อต่อ ออกมาก่อน หลังจากนั้นจะทำการคำนวณหาแรงบิดที่ใช้ขับข้อต่อเพื่อให้แขนกลเคลื่อนที่ตามต้องการ

4. Resolve Acceleration Control of Manipulator

การควบคุมแบบผสมระหว่างแรงและตำแหน่งนั้น เป็นการควบคุมแบบแรงและตำแหน่งไปพร้อมๆ กัน โดยจากการควบคุมแรงและตำแหน่งออกจากกันตามทิศทางของคอมไพลอันท์เฟรม เมื่อจะควบคุมตำแหน่งในทิศทางใดๆ ของคอมไพลอันท์เฟรมในวิธีรีโซล์ฟแอคชันนั้นต้องคำนวณหาความเร่งของแขนกลในทิศทางนั้นๆ ของคอมไพลอันท์เฟรมก่อน หลังจากนั้นจึงแปลงให้มาอยู่ในรูปของความเร่งในแต่ละรอยต่อดังนี้

$$\ddot{P}_c = \ddot{P}_{cd} + K_v \cdot (\dot{P}_{cd} - \dot{P}_c) + K_p \cdot (E_p) \quad (1.18)$$

โดยที่

\ddot{P}_c = ความเร่งของปลายแขนกลในคอมไพลอันท์เฟรม

\ddot{P}_{cd} = ความเร่งของปลายแขนกลในคอมไพลอันท์เฟรมที่ต้องการ

\dot{P}_{cd} = ความเร็วของปลายแขนกลในคอมไพลอันท์เฟรมที่ต้องการ

\dot{P}_c = ความเร็วของปลายแขนกลในคอมไพลอันท์เฟรม

E_p = ค่าความผิดพลาดของตำแหน่งปลายแขนกล

K_v, K_p = ค่าเกณฑ์ของความเร็วและค่าเกณฑ์ของตำแหน่ง

ค่าความเร่งที่คำนวณได้นั้นจะอยู่ในรูปทางส์คเปปช (Task Space) จึงต้องแปลงให้อยู่ในรูปของจอยน์สเปปช (Joint Space) ตามความสัมพันธ์ดังนี้

$$\ddot{q} = J^{-1} \{ R_c^{c^{-1}} (\ddot{P}_c - \dot{R}_c^c \dot{P} - j \dot{q} \} \quad (1.19)$$

โดยที่

\ddot{q} = ความเร่งที่คำนวณได้ขึ้นของรอยต่อ

J = จาร์โคเมียนเมตริกซ์

R_c^c = เมตริกซ์การแปลง จากเฟรม 0 ไปยังเฟรม c

\ddot{P}_c = ความเร่งของปลายแขนกลที่คำนวณได้จากสมการที่ (2.18)

\dot{P} = ความเร็วของปลายแขนกลในเฟรม 0

\dot{q} = ความเร็วของรอยต่อ

เมื่อคำนวณความเร่งของแต่ละรอยต่อได้แล้ว ต่อไปจะคำนวณแรงบิดที่ใส่เข้าไปในรอยต่อจากสมการผลลัพธ์ของแขนกล

$$\tau = H(q) \cdot \ddot{q} + C(\dot{q}, q) + G(q) - J^T \cdot F \quad (1.20)$$

โดยที่

$H(q)$ = เมตริกซ์ความเนื่อย

$C(\dot{q}, q)$ = แรงหนืดศูนย์ และแรงโคริอิวิส

$G(q)$ = แรงโน้มถ่วง

τ = แรงเจเนอเรล ไลร์ที่ใส่เข้าไปในระบบ (Input Generalize Force)

F = แรงที่กระทำกับปลายแขนกล

เมื่อแทนค่าความเร่งของแต่ละรอยต่อจากสมการที่ (1.19) ลงไปในสมการ (1.20) ทำให้ได้ว่า

$$\tau_{\text{input}} = H(q) J^{-1} \{ R_c^{c^{-1}} (\ddot{P}_c - \dot{R}_c^c \dot{P}) - j \dot{q} \} + C(\dot{q}, q) + G(q) - J^T F \quad (1.21)$$

ซึ่งเมื่อใส่แรงบิดตามสมการที่ (1.21) ไปยังรอยต่อแต่ละรอยของแขนกลแล้วจะทำให้

$$\ddot{e}_p + k_v e_p + k_p e_p = 0 \quad (1.22)$$

นั่นคือค่าความผิดพลาดของตำแหน่งจะสู่เข้าสู่ศูนย์ทำให้แขนกลเคลื่อนที่เข้าสู่ตำแหน่งที่ต้องการได้ในที่สุด

5. การทดลอง

ในหัวข้อนี้เป็นการทดลองนำเอาเทคนิคระบบควบคุมแรงและตำแหน่งที่ได้กล่าวมาแล้วในบทที่ 2 มาประยุกต์ทดลองใช้ (Implementation) กับระบบแขนหุ่นยนต์จุพาน 2 โดยที่ในการทดลองนั้นแบ่งเป็นการทดลองแบบต่างๆดังนี้

5.1 ทำการทดลองเพื่อนำการควบคุมแรงแบบอิมพลิชิตไปใช้งานอย่างมีประสิทธิภาพ โดยทำการทดลองเปรียบเทียบระหว่างการควบคุมแรงแบบเอกซ์เพลิชิต และการควบคุมแรงแบบอิมพลิชิตที่มีการหาค่าหรือประมาณค่าความแข็งตึง (Stiffness) แบบออนไลน์กับแบบที่ให้ค่าความแข็งตึงคงที่

5.2 ทำการทดลองเปรียบเทียบระหว่างการควบคุมแรงแบบเอกซ์เพลิชิต และการควบคุมแรงแบบอิมพลิชิตที่มีการหาค่าหรือประมาณค่าความแข็งตึงแบบออนไลน์ เมื่อต้องการให้แขนกลลดวัตถุชนิดต่างๆกันดังนี้

5.2.1 วัตถุที่อ่อนด้าว ซึ่งในที่นี้ใช้แผ่นโฟมในการทดลอง

5.2.2 ผนังแผ่นเหล็กที่มีความหยุ่นด้าว

5.2.3 ผนังแผ่นเหล็กที่มีความหยุ่นด้าวโดยค่าสั่งแรงที่ให้แขนกลกระทำมีการเปลี่ยนแปลงแบบขั้นบันได (Step Change)

5.2.4 วัตถุแข็งที่รุปร่างไม่ต่อเนื่อง (Discontinuity)

5.3 การทดลองควบคุมแรงและตำแหน่ง โดยควบคุมตำแหน่งในแนวแกน z หรือแกนที่ 3 ของแขนกลและควบคุมแรงในแนวนอน xy หรือระหว่างที่ประกอบด้วยแกนที่ 1 และแกนที่ 2 ของแขนกล

5.1 การทดลองนำการควบคุมแรงแบบอิมพลิชิตไปใช้งานอย่างมีประสิทธิภาพ

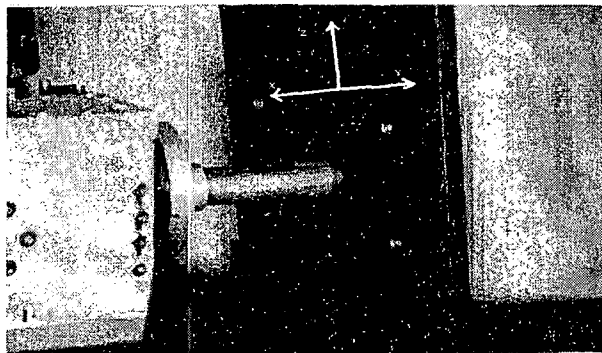
การทดลองนี้เป็นการทดลองควบคุมแบบสมรรถว่างแรงและตำแหน่งของแขนกลที่กระทำกับผนังแบบ ตามรูปที่ 5.1 โดยการทดลองเป็นการเปรียบเทียบระหว่าง

1) การควบคุมแรงแบบอิมพลิชิต ที่ให้ค่าความแข็งตึงคงที่ ซึ่งในที่นี้กำหนดให้เท่ากับ 5×10^4 นิวตัน/เมตร

2) การควบคุมแรงแบบอิมพลิชิตที่มีการหาค่าหรือประมาณค่าความแข็งตึงแบบออนไลน์

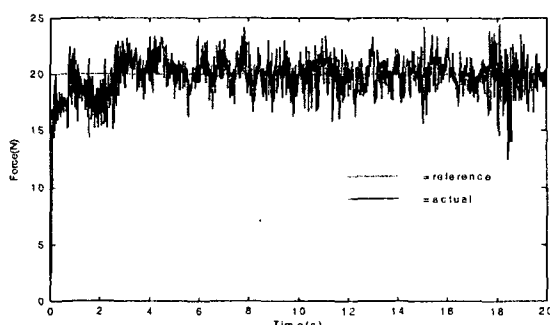
พิจารณารูป 5.1 แกน X คือแกนที่ดึงจากกับพื้นผิว แกน Y คือแกนที่สัมผัสกับพื้นผิวในแนวนอน แกน Z คือแกนที่สัมผัสกับพื้นผิวในแนวตั้ง การทดลองเริ่มจากแขนกลอยู่ห่างจากวัตถุประมาณ 1 ซม. หลังจากนั้นแขนกลจะเคลื่อนที่เข้ากดผนังแบบในแนวแกน X ด้วยแรงกด 20 นิวตัน, 25 นิวตัน, 30 นิวตัน ตามลำดับ หลังจากนั้นแขนกลจะเคลื่อนที่ไปตามผนังแบบเป็นเส้นตรงโดยมีสมการความเร็วเป็นสมการกำลังสอง เป็นระยะทาง 80 มม. ตามแนวแกน Y พร้อมกับกดผนังด้วยแรงที่กำหนด โดยการควบคุมแรงแบบอิมพลิชิตนี้จะใช้ค่าเกณฑ์ของอินทิกรัลเท่ากับ 0.8 ส่วนค่า Stiffness, มีค่า 5000 N/m

สำหรับค่า K_p และค่า K_v ของการควบคุมแบบ Resolve Acceleration (ซึ่งจะกล่าวต่อไป) มีค่าเท่ากับ 1300 และ 50 ตามลำดับ ส่วนค่า K_i สำหรับการหาค่าตำแหน่งกดนั้นมีค่าเท่ากับ 0.8

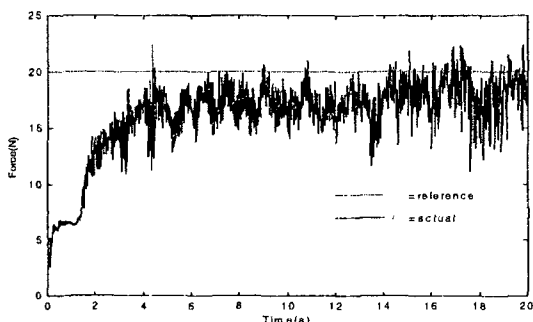


รูปที่ 5.1 แสดงรูปของแขนกลกำลังเคลื่อนที่อยู่บนผนังแบบ

Force Response



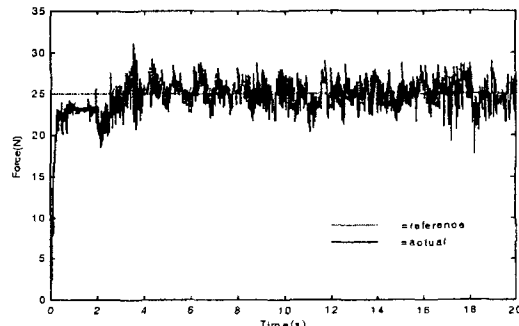
รูปที่ 5.2 แสดงค่าแรงที่กระทำต่อปลายแขนกลขณะเคลื่อนที่เป็นเส้นตรงเป็นระยะทาง 80 มม. บนผนังแบบ ด้วยขนาดแรงกด 20 นิวตัน การควบคุมแรงเป็นแบบอิมพลิชิกที่มีการหาค่าความแข็งดึงแบบออนไลน์



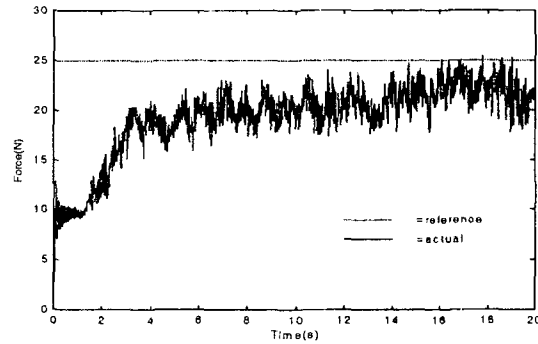
รูปที่ 5.3 แสดงค่าแรงที่กระทำต่อปลายแขนกลขณะเคลื่อนที่เป็นเส้นตรงเป็นระยะทาง 80 มม. บนผนังแบบด้วยขนาดแรงกด 20 นิวตัน การควบคุมแรงเป็นแบบอิมพลิชิกที่ให้ค่าความแข็งดึงคงที่

จะเห็นได้ว่า ตอนเริ่มต้นแขนกลวิ่งเข้ากดตุ๊ดวัยแรงที่น้อยกว่าค่าที่ต้องการ เนื่องจากตำแหน่งที่ต้องการให้แขนกลกดตอนเริ่มต้นไม่ทำให้เกิดแรงตามต้องการ หลังจากนั้นผลของค่าอินทิกรัลจะทำให้แรงกดค่อยๆเพิ่มขึ้นสูงค่าที่ต้องการ แต่การควบคุมแรงแบบอิมพลิชิกที่มีการหาค่าหรือประมาณค่าความแข็งดึงแบบออนไลน์นั้น เมื่อเวลาผ่านไป 3 วินาที แรงกดก็จะสูงเข้าสู่ค่าที่กำหนด เมื่อเวลาผ่านไป 20 วินาที แรงกดจึงสูงเข้าสู่ค่าที่ต้องการ ส่วนที่ผลตอบสนองของแรงไม่เรียบเนื่องมาจากการวัดตุ๊ดวัยแรงทำให้ผลตอบสนองของแรงไม่เรียนเท่าที่ควร

ผ่านไป 3 วินาที แรงกดก็จะสูงเข้าสู่ค่าที่นั้น เมื่อเวลาผ่านไป 20 วินาที แรงกดจึงสูงเข้าสู่ค่าที่ต้องการ



รูปที่ 5.4 แสดงค่าแรงที่กระทำต่อปลายแขนกลขณะเคลื่อนที่เป็นเส้นตรงเป็นระยะทาง 80 มม. บนผนังแบบ ด้วยขนาดแรงกด 25 นิวตัน การควบคุมแรงเป็นแบบอิมพลิชิกที่มีการหาค่าความแข็งดึงแบบออนไลน์

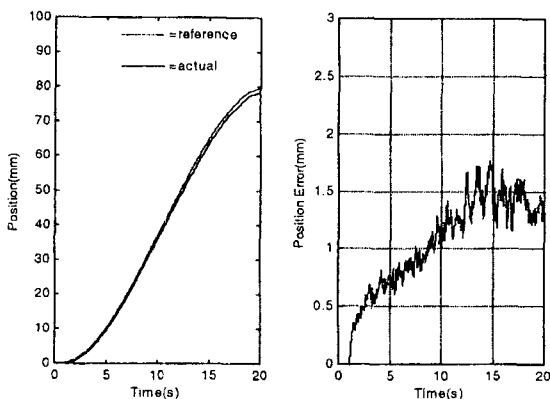


รูปที่ 5.5 แสดงค่าแรงที่กระทำต่อปลายแขนกลขณะเคลื่อนที่เป็นเส้นตรงเป็นระยะทาง 80 มม. บนผนังแบบด้วยขนาดแรงกด 25 นิวตัน การควบคุมแรงเป็นแบบอิมพลิชิกที่ให้ค่าความแข็งดึงคงที่

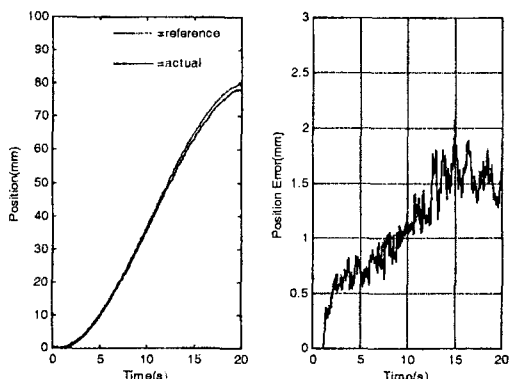
ถ้าเพิ่มแรงที่กดเพิ่มขึ้นเป็น 25 N และ 30 N ผลที่ได้จะมีลักษณะใกล้เคียงกันกับเมื่อใช้แรง 20 N โดยตอนเริ่มต้นแขนกลวิ่งเข้ากดตุ๊ดวัยแรงที่น้อยกว่าค่าที่ต้องการ เนื่องจากตำแหน่งที่ต้องการให้แขนกลกดตอนเริ่มต้นไม่ทำให้เกิดแรงตามต้องการ โดยวิธีที่หาค่าความแข็งดึงแบบออนไลน์จะมีแรงกดเริ่มต้นประมาณ 15 N แต่วิธีที่ให้ค่าความแข็งดึงคงที่นั้นจะมีแรงกดเริ่มต้นประมาณ 10 N หลังจากนั้นผลของค่าอินทิกรัลจะทำให้แรงกดค่อยๆเพิ่มขึ้นสูงค่าที่ต้องการ แต่การควบคุมแรงแบบอิมพลิชิกที่มีการหาค่าหรือประมาณค่า Stiffness แบบออนไลน์นั้น เมื่อเวลาผ่านไป 3 วินาที แรงกดก็จะสูงเข้าสู่ค่าที่กำหนด เมื่อเวลาผ่านไป 20 วินาที แรงกดจึงสูงเข้าสู่ค่าที่ต้องการ ส่วนที่ผลตอบสนองของแรงไม่เรียบเนื่องมาจากการวัดตุ๊ดวัยแรงไม่เรียบทำให้ผลตอบสนองของแรงไม่เรียนเท่าที่ควร และจากการทดลองกดอย่าง จะได้ผลสรุปว่าเมื่อใช้การควบคุมแรงแบบอิมพลิชิกที่มีการหาค่าหรือประมาณค่าความแข็งดึงของระบบแบบออนไลน์ จะทำให้ระยะที่สั้นให้แขนกลกดตุ๊ดวัยเข้าสู่ค่าที่สถานะอยู่ด้วยเร็วกว่าแบบที่ให้ค่าความแข็งดึงคงที่ ซึ่งเป็นผลให้ผลการตอบสนองของแรงเร็วกว่าด้วย

โดยมีค่าเวลาเข้าที่ (Settling Time) ประมาณ 3 วินาที ส่วนในการนี้ที่ให้ค่าความแข็งดึงคงที่มีค่าเวลาเข้าที่มากกว่า 20 วินาที เมื่อทดลองกดด้วยแรง 20 นิวตัน (ผลมีลักษณะเช่นเดียวกับเมื่อใช้แรง 25 นิวตัน และ 30 นิวตัน)

Position Response



รูปที่ 5.4 แสดงค่าการเคลื่อนที่และความผิดพลาดของตำแหน่งของปลายแขนกลบนพนังแบบเป็นระยะ 80 มม. มีแรงกดขนาด 20 นิวตัน การควบคุมแรงแบบอิมพลิชิกที่ให้ค่าความแข็งดึงคงที่



รูปที่ 5.5 แสดงค่าการเคลื่อนที่และความผิดพลาดของตำแหน่งของปลายแขนกลบนพนังแบบเป็นระยะ 80 มม. มีแรงกดขนาด 20 นิวตัน การควบคุมแรงแบบอิมพลิชิกที่มีการหาค่าความแข็งดึงแบบออนไลน์

จากรูปที่ 5.4 - 5.5 แสดงให้เห็นถึงการเคลื่อนที่เป็นเส้นตรงของปลายแขนกลบนพนังแบบโดยมีสมการความเร็วเป็นสมการกำลังสอง เป็นระยะทาง 80 มม. โดยมีแรงกดคือ 20 นิวตัน (และ 25 นิวตัน, 30 นิวตัน) การทดลองนี้ทำในสองกรณีกล่าวคือ 1) กำหนดค่าความแข็งดึงให้มีค่าคงที่ 2) มีการคำนวนหาหรือประมาณการค่าความแข็งดึงในลักษณะแบบออนไลน์

จากการทดลองพบว่า การควบคุมตำแหน่งของแขนกลหั้ง 2 วิธีนี้ให้ผลดีไม่ต่างกัน โดยที่ค่าความผิดพลาดของตำแหน่งปลายแขนกลมีค่าไม่เกิน 2.5 มม.

5.2 การทดลองเปรียบเทียบการควบคุมแรงแบบเอกซ์เพลิชิกกับการควบคุมแรงแบบอิมพลิชิก

5.2.1 การทดลองควบคุมแรงและตำแหน่งกับวัตถุอ่อนตัว

การทดลองนี้เป็นการทดลองควบคุมแรงที่แขนกลกระทำกับวัตถุอ่อนตัว ซึ่งในที่นี้ใช้ฟอม ตามรูปที่ 5.6 เป็นวัตถุให้แขนกลกด โดยเป็นการทดลองเปรียบเทียบระหว่าง

- 1) การควบคุมแรงแบบเอกซ์เพลิชิก
- 2) การควบคุมแรงแบบอิมพลิชิกที่มีการหาค่าหรือประมาณค่าความแข็งดึงแบบออนไลน์

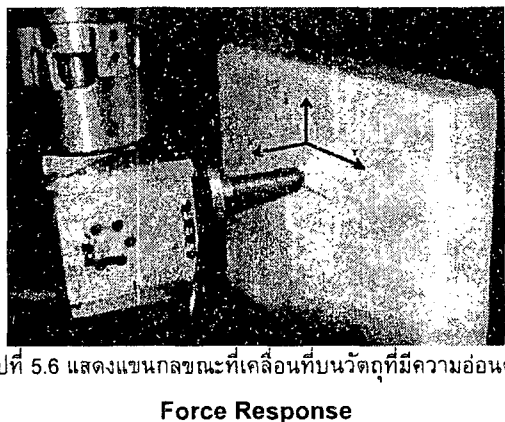
เพื่อศึกษาความแตกต่างของผลตอบสนองของแรงที่แขนกลกดวัตถุและผลตอบสนองของตำแหน่งปลายแขนกลพิจารณารูป 5.26 แกน X คือแกนที่ตั้งฉากกับพื้นผิว แกน Y คือแกนที่สัมผัสกับพื้นผิวในแนวราบ แกน Z คือแกนที่สัมผัสกับพื้นผิวในแนวตั้ง

การทดลองเริ่มจากให้แขนกลอยู่ห่างจากฟอร์มประมาณ 1 ซม. และควบคุมให้แขนกลเคลื่อนที่เข้าไปกดวัตถุตามแนวแกน X แล้วเคลื่อนที่ไปบนพื้นวัตถุเป็นแนวเส้นตรงตามแนวแกน Y โดยมีสมการความเร็วเป็นสมการกำลังสอง เป็นระยะทาง 90 มม. พร้อมกับกดวัตถุด้วยแรงขนาด 5 นิวตัน, 10 นิวตัน ตามลำดับ

จากรูปที่ 5.7 – 5.10 เป็นการทดลองการควบคุมแรงที่ปลายแขนกลที่กระทำกับวัตถุอ่อนตัว โดยเคลื่อนที่บนวัตถุอ่อนตัวเป็นเส้นตรง ระยะทาง 90 มม. พร้อมกับกดวัตถุอ่อนตัวด้วยแรงกด เท่ากับ 5 นิวตัน, 10 นิวตัน ตามลำดับ การทดลองนี้ทำการเปรียบเทียบระหว่าง การควบคุมแรงแบบเอกซ์เพลิชิก และการควบคุมแรงแบบอิมพลิชิกที่มีการหาค่าหรือประมาณค่าความแข็งดึงแบบออนไลน์ ซึ่งพบว่า เมื่อควบคุมแรงโดยใช้การควบคุมแรงแบบอิมพลิชิกแล้วผลตอบสนองของแรงเรียบกว่าแบบการควบคุมแรงแบบเอกซ์เพลิชิก โดยที่ค่าความผิดพลาดของแรงเมื่อใช้การควบคุมแรงแบบเอกซ์เพลิชิก มีค่าไม่เกิน 7 นิวตัน ส่วนการควบคุมแรงแบบอิมพลิชิก มีค่าความผิดพลาดของแรงไม่เกิน 3 นิวตัน ทั้งนี้เนื่องจากระหว่างที่แขนกลกดวัตถุนั้น วัตถุมีการอ่อนตัวซึ่งการควบคุมตำแหน่งทำให้วัตถุที่ถูกกดสั่นน้อยกว่าการควบคุมแรง

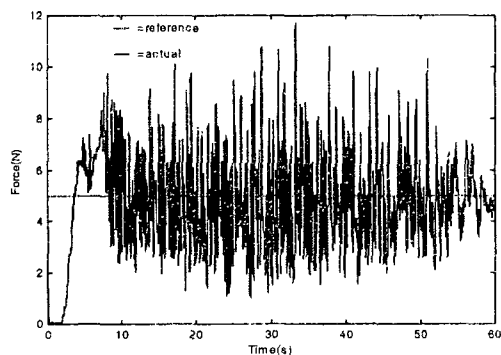
จากรูปที่ 5.11 - 5.12 แสดงให้เห็นถึงการเคลื่อนที่เป็นเส้นตรงของปลายแขนกลบนพื้นวัตถุอ่อนตัวโดยมีสมการความเร็วเป็นสมการกำลังสอง เป็นระยะทาง 90 มม. โดยมีแรงกดคือ 5 นิวตัน (ได้ทำการทดสอบที่แรง 10 นิวตันด้วย) การทดลองนี้เป็นการเปรียบเทียบระหว่างการควบคุมแรงแบบเอกซ์เพลิชิกกับการควบคุมแรงแบบอิมพลิชิกที่มีการหาค่า

หรือประมาณค่าความแข็งดึงแบบออนไลน์ ซึ่งพบว่าผลตอบสนองของตัวแหน่งจากการควบคุมทั้ง 2 วิธีไม่แตกต่างกันมากนัก เนื่องจากว่าการยุบตัวของวัสดุอ่อนตัวมีค่าค่อนข้างน้อย ซึ่งมีผลต่อการเคลื่อนที่ของแขนกลในแนวสัมผัสกับวัสดุอย่างตามไปด้วย ทำให้การเคลื่อนที่ของแขนกลค่อนข้างเรียบ โดยที่มีค่าความผิดพลาดไม่เกิน 3 มม.

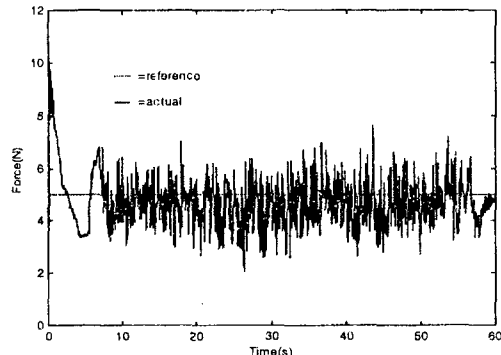


รูปที่ 5.6 แสดงแขนกลขณะที่เคลื่อนที่บนวัสดุที่มีความอ่อนตัว

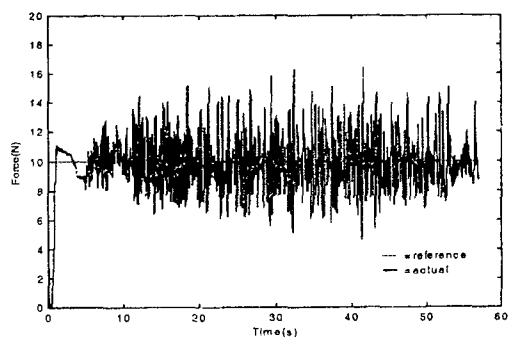
Force Response



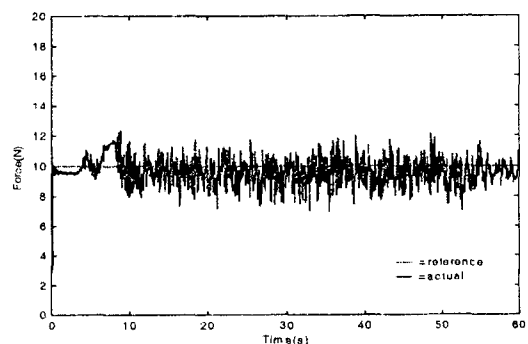
รูปที่ 5.7 แสดงค่าแรงที่กระทำต่อปลายแขนกลขณะที่เคลื่อนที่เป็นเส้นตรงระยะทาง 90 มม. บนผิววัสดุอ่อนตัว ขนาดแรง 5 นิวตัน การควบคุมแรงเป็นแบบเอกซ์พลิชิก



รูปที่ 5.8 แสดงค่าแรงที่กระทำต่อปลายแขนกลขณะที่เคลื่อนที่เป็นเส้นตรงระยะทาง 90 มม. บนผิววัสดุอ่อนตัว ขนาดแรง 5 นิวตัน การควบคุมแรงเป็นแบบอิมพลิชิก

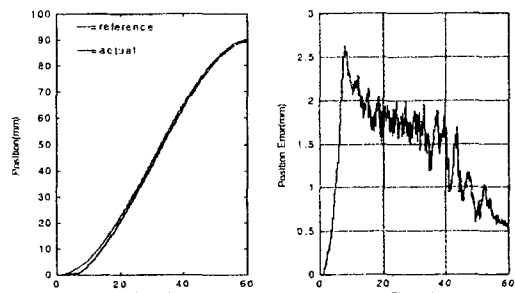


รูปที่ 5.9 แสดงค่าแรงที่กระทำต่อปลายแขนกลขณะที่เคลื่อนที่เป็นเส้นตรงระยะทาง 90 มม. บนผิววัสดุอ่อนตัว ขนาดแรง 10 นิวตัน การควบคุมแรงเป็นแบบเอกซ์พลิชิก

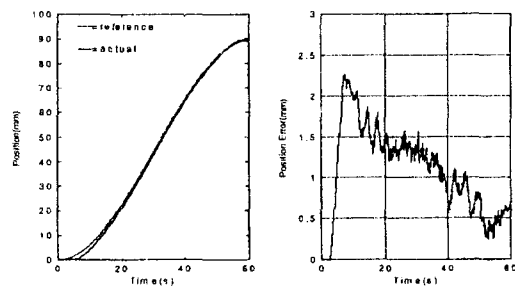


รูปที่ 5.10 แสดงค่าแรงที่กระทำต่อปลายแขนกลขณะที่เคลื่อนที่เป็นเส้นตรงระยะทาง 90 มม. บนผิววัสดุอ่อนตัว ขนาดแรง 10 นิวตัน การควบคุมแรงเป็นแบบอิมพลิชิก

Position Response



รูปที่ 5.11 แสดงค่าการเคลื่อนที่ของปลายแขนกลเป็นเส้นตรงระยะทาง 90 มม. บนผิววัสดุอ่อนตัว ขนาดแรง 5 นิวตัน ซึ่งใช้การควบคุมแรงแบบเอกซ์พลิชิก



รูปที่ 5.12 แสดงค่าการเคลื่อนที่ของปลายแขนกลเป็นเส้นตรงระยะทาง 90 มม. บนผิววัสดุอ่อนตัว ขนาดแรง 5 นิวตัน การควบคุมแรงเป็นแบบอิมพลิชิก

การทดลองควบคุมแรงและตำแหน่งกับผนังแผ่นเหล็กที่มีความหยุ่นตัว

การทดลองนี้เป็นการทดลองควบคุมแรงที่แขนกลกระทำกับผนังแผ่นเหล็กที่มีความหยุ่นตัว โดยยึดปลายด้านหนึ่งไว้ ซึ่งในที่นี้ใช้ฝ่าครอบของคอมพิวเตอร์ ตามรูปที่ 5.35 เป็นวัสดุให้แขนกลกด การทดลองนี้เป็นการเปรียบเทียบระหว่าง

- 1) การควบคุมแรงแบบเอกสาร์พลิชิก
- 2) การควบคุมแรงแบบอิมพลิชิกที่มีการหาค่าหรือประมาณค่าความแข็งตึงแบบออนไลน์

พิจารณรูป 5.13 แกน X คือแกนที่ดึงจากกับพื้นผิว แกน Y คือแกนที่สัมผัสถูกพื้นผิวในแนวราบ แกน Z คือแกนที่สัมผัสถูกพื้นผิวในแนวตั้ง

การทดลองเริ่มจากให้แขนกลอยู่ห่างจากวัสดุประมาณ 1 ซม. และควบคุมให้แขนกลเคลื่อนที่เข้าไปกดวัสดุตามแนวแกน X ด้วยแรงที่กำหนดคือ 5 นิวตัน, (ได้ทำการทดลองที่ 10 นิวตัน และ 15 นิวตันด้วย) หลังจากนั้นจะให้แขนกลกดไปบนพื้นผิวตู้พร้อมกับเคลื่อนที่ไปบนพื้นผิวตู้เป็นเส้นตรงตามแนวแกน Y โดยมีสมการความเร็วเป็นสมการกำลังสอง เป็นระยะทาง 90 มม. เพื่อที่จะศึกษาความแตกต่างของการควบคุมทั้ง 2 แบบ ที่มีต่อแรงกดและการเคลื่อนที่ของแขนกล

รูปที่ 5.14-5.15 เป็นการทดลองควบคุมแรงที่ปลายแขนกลกระทำกับผนังแผ่นเหล็กที่มีความหยุ่นตัว โดยกำหนดแรงกดให้มีค่าเท่ากับ 5 นิวตัน (ทดลองกับแรง 10 นิวตัน และ 15 นิวตันด้วย) พร้อมๆ กับเคลื่อนที่เป็นเส้นตรงเป็นระยะทาง 90 มม. โดยการทดลองนี้เป็นการเปรียบเทียบระหว่าง การควบคุมแรงแบบเอกสาร์พลิชิกกับการควบคุมแรงแบบอิมพลิชิกที่มีการหาค่าหรือประมาณค่าความแข็งตึงแบบออนไลน์ พบว่าเมื่อควบคุมแรงที่แขนกลกดผนังแผ่นเหล็กที่มีความหยุ่นตัวโดยใช้การควบคุมแรงแบบอิมพลิชิก ผลตอบสนองของแรงเรียบกว่าแบบการควบคุมแรงแบบเอกสาร์พลิชิก เนื่องจากขณะที่แขนกลเคลื่อนที่บนผนังแผ่นเหล็กที่มีความหยุ่นตัวนั้น แขนกลมีการสั่นในแนวตั้งจากกับวัสดุ ทำให้การควบคุมตำแหน่งนั้นให้ผลลัพธ์ว่า การควบคุมแรง

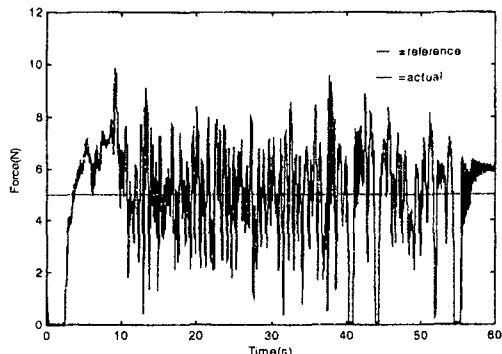
รูปที่ 5.16 – 5.17 เป็นผลการเคลื่อนที่ของแขนกลเป็นเส้นตรงโดยมีสมการความเร็วเป็นสมการกำลังสอง เป็นระยะทาง 90 มม. บนผนังแผ่นเหล็กที่มีความหยุ่นตัว ขนาดที่กดด้วยแรง 5 นิวตัน (ทดลองกับแรง 10 นิวตัน และ 15

นิวตันด้วย) โดยเป็นการเปรียบเทียบระหว่างการควบคุมแรงแบบเอกสาร์พลิชิกและการควบคุมแรงแบบอิมพลิชิกที่มีการหาค่าหรือประมาณค่าความแข็งตึงแบบออนไลน์ ผลปรากฏว่า เมื่อใช้การควบคุมแรงแบบเอกสาร์พลิชิกนั้น ผลตอบสนองของตำแหน่งปลายแขนกลจะต้องเคลื่อนที่บนผนังแผ่นเหล็กที่มีความหยุ่นตัวไม่เรียบแน่น เนื่องจากขณะที่เคลื่อนที่นั้น ผนังแผ่นเหล็กมีการหยุ่นตัวสูง ทำให้ปลายแขนกลสั่นในแนวตั้งจากกับวัสดุ ซึ่งมีผลกับตำแหน่งของแขนกลในแนวสัมผัสกับวัสดุด้วย ในขณะที่การควบคุมแรงแบบอิมพลิชิกนั้น วัสดุมีการสั่นในแนวตั้งจากกับวัสดุน้อย ทำให้ผลตอบสนองของตำแหน่งในแนวสัมผัสถูกวัดถูกค่อนข้างเรียบตามไปด้วย

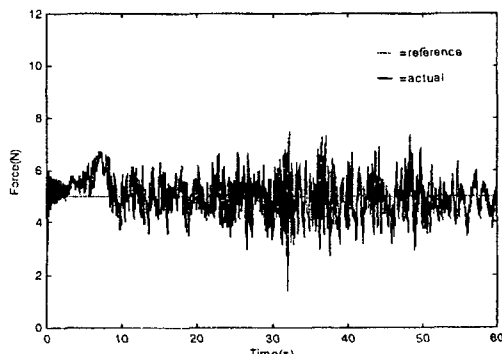


รูปที่ 5.13 แขนกลขณะที่เคลื่อนที่บนผนังแผ่นเหล็กที่มีความหยุ่นตัว

Force Response

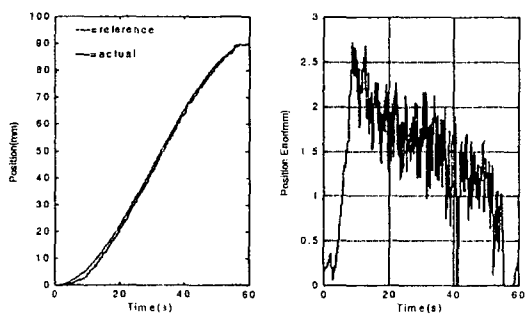


รูปที่ 5.14 แสดงค่าแรงที่กระทำต่อปลายแขนกลขณะที่เคลื่อนที่เป็นเส้นตรงระยะทาง 90 มม. บนผนังแผ่นเหล็กที่มีความหยุ่นตัว โดยกดด้วยแรง 5 นิวตัน การควบคุมแรงเป็นแบบเอกสาร์พลิชิก

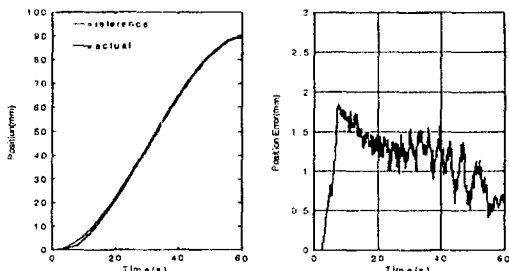


รูปที่ 5.15 แสดงค่าแรงที่กระทำต่อปลายแขนกลขณะที่เคลื่อนที่เป็นเส้นตรงระยะทาง 90 มม. บนผนังแผ่นเหล็กที่มีความหยุ่นตัว โดยกดด้วยแรง 5 นิวตัน การควบคุมแรงเป็นแบบอิมพลิชิก

Position Response



รูปที่ 5.16 แสดงค่าการเคลื่อนที่ของปลายแขนกลเป็นเส้นตรง ระยะทาง 90 มม. บนผนังแผ่นเหล็กที่มีความหยุ่นตัว โดยกดด้วยด้ามแรง 5 นิวตัน โดยใช้การควบคุมแรงแบบเอกซ์พลิชิก



รูปที่ 5.17 แสดงค่าการเคลื่อนที่ของปลายแขนกลเป็นเส้นตรง ระยะทาง 90 มม. บนผนังแผ่นเหล็กที่มีความหยุ่นตัว โดยกดด้วยด้ามแรง 5 นิวตัน โดยใช้การควบคุมแรงแบบอิมพลิชิก

การทดลองควบคุมแรงและตำแหน่งกับผนังแผ่นเหล็กที่มีความหยุ่นตัวโดยแรงที่กระทำมีการเปลี่ยนแปลงแบบขั้นบันได (Step Change)

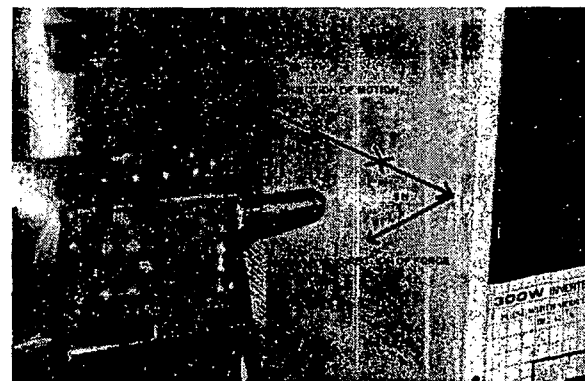
การทดลองนี้เป็นการทดลองควบคุมแรงที่แขนกลกระทำกับผนังแผ่นเหล็กที่มีความหยุ่นตัว โดยยึดปลายด้านหนึ่งไว้ เมื่อในหัวข้อ 5.3 แต่ละการทดลองนี้ คำสั่งแรงมีการเปลี่ยนแปลงแบบขั้นบันได โดยทำการทดลองเปรียบเทียบระหว่าง

- 1) การควบคุมแรงแบบเอกซ์พลิชิก
- 2) การควบคุมแรงแบบอิมพลิชิกที่มีการหาค่าหรือประมาณค่าความแข็งดึงแบบออนไลน์

พิจารณารูปที่ 5.48 แกน X คือแกนที่ตั้งจากก้มพื้นผิวแกน Y คือแกนที่สัมผัสนับพื้นผิวในแนวราบ แกน Z คือแกนที่สัมผัสนับพื้นผิวในแนวตั้ง

การทดลองเริ่มจากให้แขนกลอยู่ห่างจากวัสดุประมาณ 1 ซม. และควบคุมให้แขนกลเคลื่อนที่เข้าไปกดด้วยด้ามแรงแกน X ด้วยแรงที่กำหนดคือ 15 นิวตัน (ทดลองกับ 20 นิวตัน ด้วย) หลังจากนั้นก็จะให้แขนกลกดไปบนผิววัสดุ พร้อมกับเคลื่อนที่ไปบนผิววัสดุเป็นเส้นตรงตามแกน Y โดยมีสมการความเร็วเป็นสมการกำลังสอง เป็น

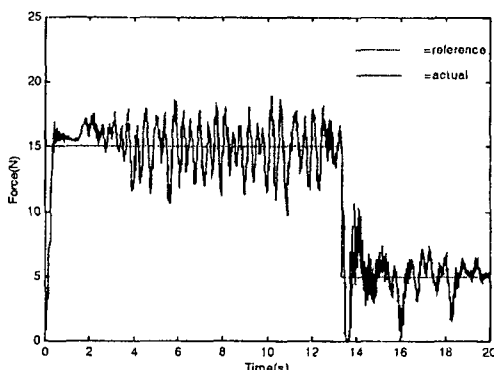
ระยะทาง 60 มม. หลังจากนั้นคำสั่งแรงจะมีการเปลี่ยนแปลงจาก 15 นิวตัน เป็น 5 นิวตัน (และจาก 20 นิวตัน เป็น 10 นิวตัน) (การเปลี่ยนแปลงแบบขั้นบันได) และจะควบคุมให้แขนกลเคลื่อนที่ต่อไปอีก 20 มม. ตามรูปที่ 5.18 เพื่อศึกษาผลตอบสนองของแรงที่แขนกลกดวัสดุ และการเคลื่อนที่ของปลายแขนกล



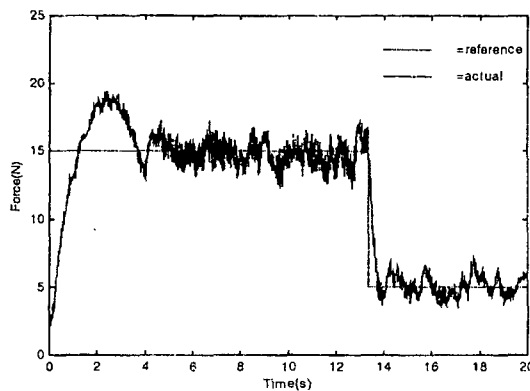
รูปที่ 5.18 แสดงแขนกลขณะเคลื่อนที่บนผนังแผ่นเหล็กที่มีความหยุ่นตัวโดยแรงที่สัมผัสมีการเปลี่ยนแปลงเป็นลักษณะขั้นบันได (Step Change)

รูปที่ 5.19 – 5.20 เป็นการทดลองควบคุมแรงที่ปลายแขนกลที่กระทำกับผนังแผ่นเหล็กที่มีความหยุ่นตัว ซึ่งเป็นการเปรียบเทียบระหว่างการควบคุมแรงแบบเอกซ์พลิชิก และการควบคุมแรงแบบอิมพลิชิกที่มีการหาค่าหรือประมาณค่าความแข็งดึงแบบออนไลน์ โดยกำหนดแรงกดให้มีค่าเท่ากับ 15 นิวตัน (หรือ 20 นิวตัน) พร้อมๆ กับเคลื่อนที่เป็นเส้นตรงเป็นระยะทาง 60 มม. พบว่าผลตอบสนองของแรงที่ควบคุมด้วยวิธีการควบคุมแรงแบบอิมพลิชิกเรียบกว่าการควบคุมแรงแบบเอกซ์พลิชิก หลังจากนั้นคำสั่งแรงมีการเปลี่ยนแปลงแบบขั้น โดยเปลี่ยนแปลงจาก 15 นิวตัน เป็น 5 นิวตัน (หรือจาก 20 นิวตัน เป็น 10 นิวตัน) พบว่าเมื่อใช้การควบคุมแรงแบบอิมพลิชิก ผลตอบสนองของแรงจะน่าจะดีกว่าการเปลี่ยนแปลงมีโควอร์ชูต (Overshoot) น้อยกว่าการควบคุมโดยใช้การควบคุมแรงแบบเอกซ์พลิชิก โดยเฉพาะเมื่อคำสั่งแรงเปลี่ยนแปลงจาก 15 นิวตัน เป็น 5 นิวตันนั้น เมื่อใช้การควบคุมแรงแบบเอกซ์พลิชิก แขนกลได้หลุดออกจากวัสดุแล้วกลับเข้ากดวัสดุใหม่ซึ่งทำให้เกิดโควอร์ชูตขึ้นมาก ในขณะที่การควบคุมแรงแบบอิมพลิชิกนั้นไม่ทำให้แขนกลหลุดจากวัสดุ ผลตอบสนองของแรงจึงไม่เกิดโควอร์ชูต

Force Response



รูปที่ 5.19 แสดงค่าแรงที่กระทำต่อปลายแขนกลขณะที่เคลื่อนที่เป็นเส้นตรง ระยะทาง 80 มม. บนผนังแผ่นเหล็กที่มีความหยุ่นตัว โดยแรงมีการเปลี่ยนแปลงจาก 15 นิวตันเป็น 5 นิวตัน การควบคุมแรง เป็นแบบเอกสารพลิชิก

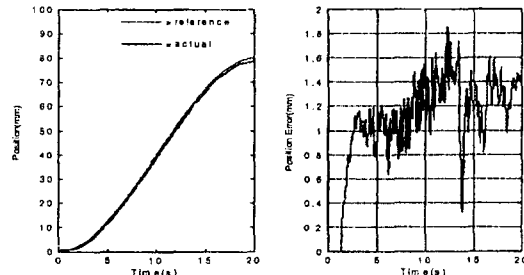


รูปที่ 5.20 แสดงค่าแรงที่กระทำต่อปลายแขนกลขณะที่เคลื่อนที่เป็นเส้นตรง ระยะทาง 80 มม. บนผนังแผ่นเหล็กที่มีความหยุ่นตัว โดยแรงมีการเปลี่ยนแปลงจาก 15 นิวตัน เป็น 5 นิวตัน การควบคุมแรง เป็นแบบอิมพลิชิก

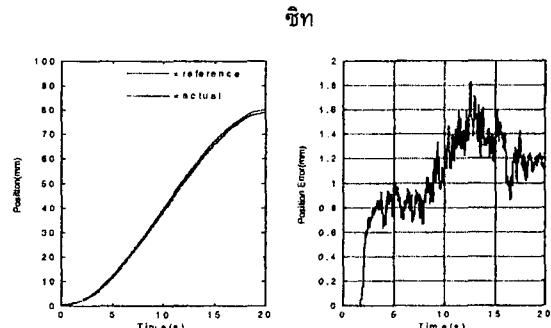
จากรูปที่ 5.21 – 5.22 เป็นผลการเคลื่อนที่ของแขนกลบนผนังแผ่นเหล็กที่มีความหยุ่นตัว โดยค่าสั้งแรงที่แขนกล กดวัดถูมีการเปลี่ยนแปลงจาก 15 นิวตัน เป็น 5 นิวตัน โดย เป็นการเปรียบเทียบระหว่าง การควบคุมแรงแบบเอกสาร พลิชิกและ การควบคุมแรงแบบอิมพลิชิกที่มีการหาค่าหรือ ประมาณค่าความแข็งดึงแบบออนไลน์ ผลปรากฏว่า เมื่อใช้ การควบคุมแรงแบบเอกสารพลิชิกนั้น ผลตอบสนองของ ตำแหน่งปลายแขนกลขณะที่ค่าสั้งแรงมีการเปลี่ยนแปลง จาก 15 นิวตัน เป็น 5 นิวตันนั้นเกิดการสั่นมาก เนื่องจาก แขนกลหลุดออกจากผิววัสดุแล้วกลับเข้ากับวัสดุใหม่ ในขณะที่การควบคุมแรงแบบอิมพลิชิกนั้น แขนกลไม่หลุด ออกจากผิววัสดุ ทำให้ผลตอบสนองของตำแหน่งปลายแขนกล ค่อนข้างเรียบ (สำหรับกรณีของค่าสั้งแรงมีการเปลี่ยน แปลงจาก 20 นิวตัน เป็น 10 นิวตันนั้น ทั้งการควบคุมแรง

แบบเอกสารพลิชิก และการควบคุมแรงแบบอิมพลิชิก ให้ผลที่ ไม่ต่างกัน) เนื่องจากค่าสั้งแรงที่ให้แขนกลกดวัดถูมีค่ามาก วัสดุที่แขนกลกดจึงไม่มีการสั่นมากนัก ตำแหน่งของแขนกลใน แนวสัมผัสกับวัสดุจึงค่อนข้างเรียบตามไปด้วย

Position Response



รูปที่ 5.21 แสดงค่าการเคลื่อนที่ของปลายแขนกลเป็นเส้นตรง ระยะทาง 80 มม. บนผนังแผ่นเหล็กที่มีความหยุ่นตัว โดยแรงกดวัดถูมีการเปลี่ยน แปลงจาก 15 นิวตัน เป็น 5 นิวตัน โดยใช้การควบคุมแรงแบบเอกสารพลิ



รูปที่ 5.22 แสดงค่าการเคลื่อนที่ของปลายแขนกลเป็นเส้นตรง ระยะทาง 80 มม. บนผนังแผ่นเหล็กที่มีความหยุ่นตัว โดยแรงกดวัดถูมีการเปลี่ยน แปลงจาก 15 นิวตัน เป็น 5 นิวตัน การควบคุมแรง เป็นแบบอิมพลิชิก

การทดลองควบคุมแรงและตำแหน่งกับวัสดุที่รูปร่างไม่ต่อเนื่อง

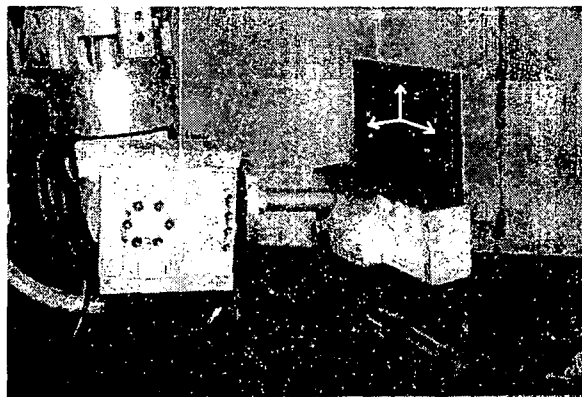
การทดลองนี้เป็นการทดลองควบคุมแรงที่แขนกลกระทำ กับวัสดุที่รูปร่างไม่ต่อเนื่อง ตามรูปที่ 5.23 การทดลองนี้เป็น การเปรียบเทียบระหว่าง

- 1) การควบคุมแรงแบบเอกสารพลิชิก
- 2) การควบคุมแรงแบบอิมพลิชิกที่มีการหาค่าหรือ ประมาณค่าความแข็งดึงแบบออนไลน์

พิจารณารูป 5.23 แกน X คือแกนที่ตั้งฉากกับพื้นผิว แกน Y คือแกนที่สัมผัสกับพื้นผิวในแนวราบ แกน Z คือแกนที่ สัมผัสกับพื้นผิวในแนวตั้ง

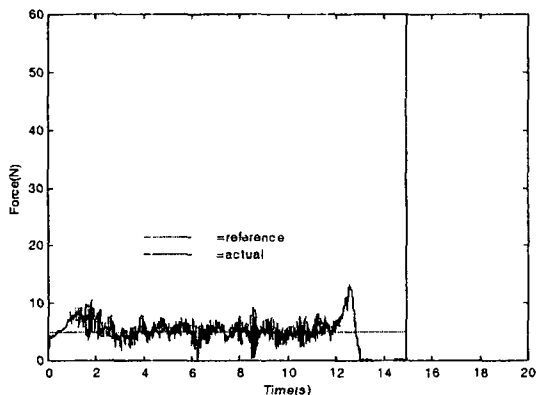
การทดลองเริ่มจากแขนกลอยู่ห่างจากวัสดุประมาณ 1 ซม. หลังจากนั้นแขนกลจะเคลื่อนที่เข้ากับวัสดุตามแนวแกน X ด้วยแรงกด 5 นิวตัน, 10 นิวตัน, 15 นิวตัน ตามลำดับ พร้อม กับเคลื่อนที่ไปบนวัสดุที่รูปร่างไม่ต่อเนื่อง โดยมีการเคลื่อนที่ เป็นเส้นตรงตามแนวแกน Y และพยายามควบคุมให้แรงที่แขน

กลกดวัดถูกเป็น datum ที่ต้องการ ซึ่งการทดลองนี้เป็นการศึกษาถึงข้อดีของการควบคุมแบบอิมพลิชิตเมื่อพารามิเตอร์ของการควบคุมมีการเปลี่ยนแปลงอย่างรวดเร็ว

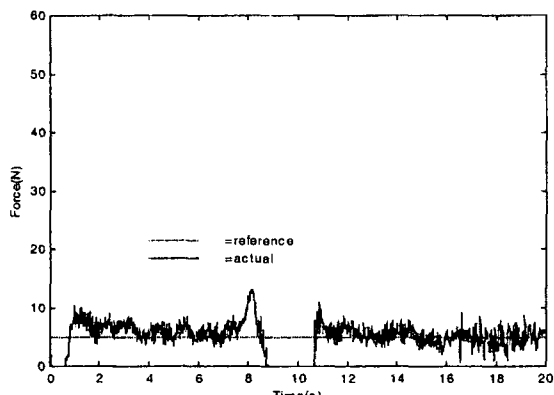


รูปที่ 5.23 แสดงแขนกลขณะเคลื่อนที่บนวัสดุที่รูปร่างไม่ต่อเนื่อง

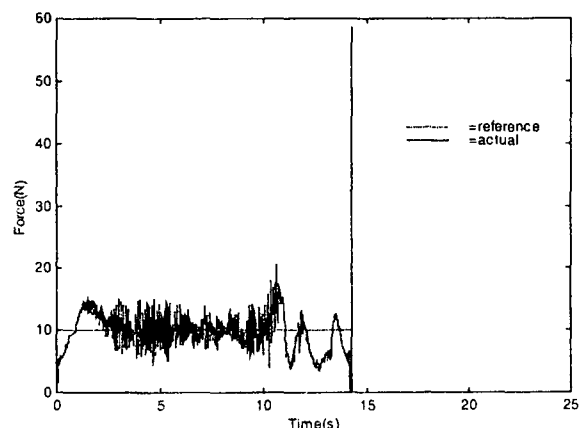
Force Response



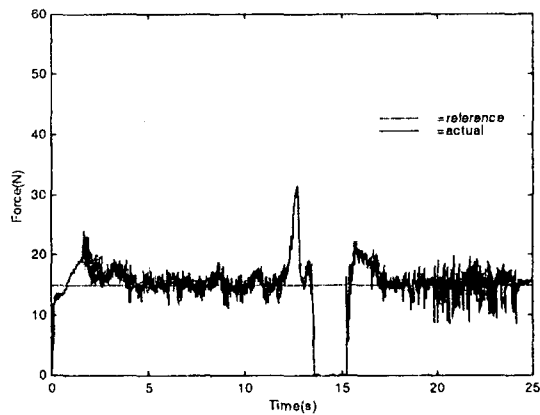
รูปที่ 5.24 แสดงค่าแรงที่กระทำต่อปลายแขนกล ขณะที่เคลื่อนที่บนวัสดุที่รูปร่างไม่ต่อเนื่องเป็นเส้นตรงระยะ 80 มม. โดยมีขนาดแรงกด 5 นิวตัน การควบคุมแรงเป็นแบบเอกซ์พลิชิก



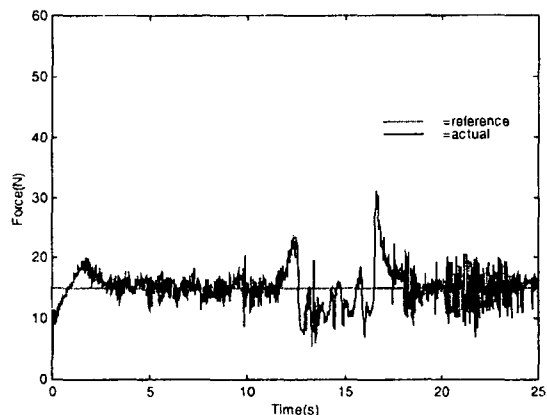
รูปที่ 5.25 แสดงค่าแรงที่กระทำต่อปลายแขนกล ขณะที่เคลื่อนที่บนวัสดุที่รูปร่างไม่ต่อเนื่องเป็นเส้นตรงระยะ 80 มม. โดยมีขนาดแรงกด 5 นิวตัน การควบคุมแรงเป็นแบบอิมพลิชิก



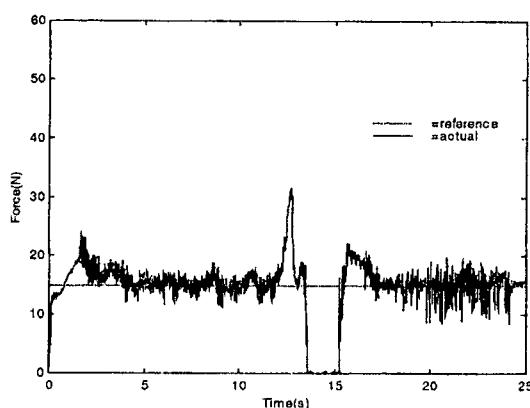
รูปที่ 5.26 แสดงค่าแรงที่กระทำต่อปลายแขนกลขณะที่เคลื่อนที่บนวัสดุที่รูปร่างไม่ต่อเนื่องเป็นเส้นตรงระยะ 80 มม. โดยมีขนาดแรงกด 10 นิวตัน การควบคุมแรงเป็นแบบเอกซ์พลิชิก



รูปที่ 5.27 แสดงค่าแรงที่กระทำต่อปลายแขนกลขณะที่เคลื่อนที่บนวัสดุที่รูปร่างไม่ต่อเนื่องเป็นเส้นตรงระยะ 80 มม. โดยมีขนาดแรงกด 10 นิวตัน ซึ่งใช้การควบคุมแรงเป็นแบบอิมพลิชิก



รูปที่ 5.28 แสดงค่าแรงที่กระทำต่อปลายแขนกลขณะที่เคลื่อนที่บนวัสดุที่รูปร่างไม่ต่อเนื่องเป็นเส้นตรงระยะ 80 มม. โดยมีขนาดแรงกด 15 นิวตัน การควบคุมแรงเป็นแบบเอกซ์พลิชิก

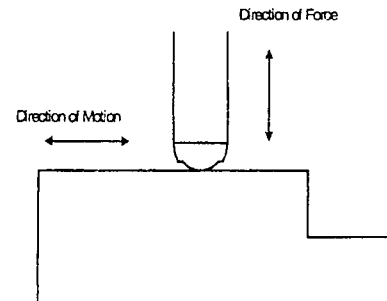


รูปที่ 5.29 แสดงค่าแรงที่กระทำต่อปลายแขนกล ขณะที่เคลื่อนที่บนวัสดุที่รูปร่างไม่ต่อเนื่องเป็นเส้นตรงระยะ 80 มม. โดยมีขนาดแรงกด 15 นิวตัน การควบคุมแรงเป็นแบบอัมพลิชิก

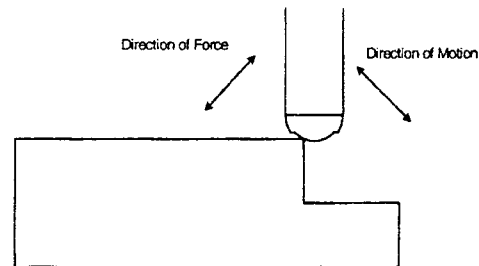
จากรูปที่ 5.24 – 5.29 แสดงถึงผลตอบสนองของแรงที่แขนกลด้วยขณะที่เคลื่อนที่บนวัสดุที่รูปร่างไม่ต่อเนื่อง โดยทำการทดลองเปรียบเทียบระหว่างการควบคุมแรงแบบเอกซ์เพลิชิกและการควบคุมแรงแบบอัมพลิชิก

ก่อนอื่นต้องพิจารณารูปร่างของอุปกรณ์วัสดุแรงที่ใช้ก่อน ตามรูปที่ 5.30 แสดงถึงรูปร่างของแท่งวัสดุแรงที่ยึดกับอุปกรณ์วัสดุแรงขณะเคลื่อนที่บนวัสดุ ในการทดลองนั้น เริ่มแรกแขนกลหัวใจจากผิววัสดุประมาณ 1 ซม. หลังจากนั้นแขนกลจะเคลื่อนที่เข้ากับวัสดุด้วยแรงที่กำหนด คือ 5 นิวตัน, 10 นิวตัน, 15 นิวตัน ตามลำดับ และเคลื่อนที่ไปบนวัสดุที่รูปร่างไม่ต่อเนื่อง ขณะที่แขนกลเคลื่อนที่อยู่ในบริเวณซึ่งพื้นผิวต่อเนื่องนั้น ผลตอบสนองของแรงเมื่อใช้การควบคุมแรงแบบเอกซ์เพลิชิกและการควบคุมแรงแบบอัมพลิชิกให้ผลไม่ต่างกันนัก แต่เมื่อแขนกลเคลื่อนที่ถึงจุดที่เป็นดังรูปที่ 5.31 ทิศทางของแรงที่กระทำกับแขนกลมีการเปลี่ยนแปลงอย่างรวดเร็ว ทำให้แรงที่แขนกลกดวัสดุมีค่ามากขึ้น เช่น รูปที่ 5.25 ช่วงวินาทีที่ 8 ซึ่งพบว่าแรงกดมีค่ามากขึ้น หลังจากนั้นพอปลายแขนกลเคลื่อนที่มาอยู่ที่ตำแหน่งตามรูปที่ 5.32 ทิศทางของแรงควบคุมตำแหน่งและแรงควบคุมแรงเปลี่ยนไปอย่างรวดเร็ว ทำให้แรงที่แขนกลกดวัสดุมีค่าลดลง ตามรูปที่ 5.26 ทิศทางของแรงควบคุมตำแหน่งและแรงควบคุมแรงเปลี่ยนไปอย่างรวดเร็ว ทำให้แรงที่แขนกลกดวัสดุลดลง ตามรูปที่ 5.27 ซึ่งค่าสั่นแรงที่ให้แขนกลกดวัสดุค่า 5 นิวตัน ซึ่งตัวควบคุมจะสั่นให้แขนกลกดวัสดุเข้าไปใหม่ ซึ่งการควบคุมแรงแบบเอกซ์เพลิชิกจะทำให้แขนกลเคลื่อนที่เข้าหากันพื้นผิวด้วยความเร่งจนชนพื้นผิวด้วยแรงเกินกว่าที่กำหนด (50 นิวตัน) จึงทำให้ระบบเกิดความไม่เสถียรภาพขึ้น ดังเช่นรูปที่ 5.24, 5.26 แต่ค่าสั่นแรงมีค่ามากถึง 15 นิวตัน ดังรูปที่ 5.30 แขนกลจะไม่หลุดออกจากพื้นผิว เนื่องจากค่าสั่น

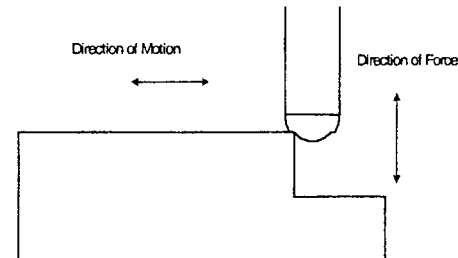
แรงมีค่ามาก ทำให้ระบบยังคงมีเสถียรภาพในขณะที่การควบคุมแรงแบบอัมพลิชิกนั้น ถึงแม้ปลายแขนกลจะหลุดออกจากผิว แต่ก็หลุดห่างออกมากไม่มาก และตัวควบคุมจะสั่นให้ปลายแขนกลเคลื่อนที่เข้าหากันด้วยความเร็วค่อนข้างคงที่เนื่องจากเป็นการควบคุมตำแหน่ง ทำให้ปลายแขนกลเริ่มสัมผัสพื้นผิวใหม่ด้วยแรงที่ไม่เกินจากที่ต้องการมากนัก ตามรูปที่ 5.25, 5.27, 5.29



รูปที่ 5.30 ปลายแขนกลที่เคลื่อนที่อยู่บนวัสดุที่รูปร่างไม่ต่อเนื่อง

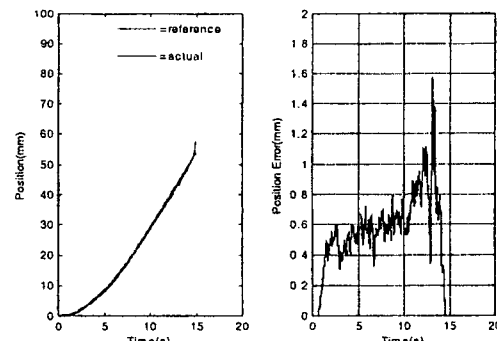


รูปที่ 5.31 ปลายแขนกลขณะที่เคลื่อนที่ใกล้ถึงจุดที่ไม่ต่อเนื่อง

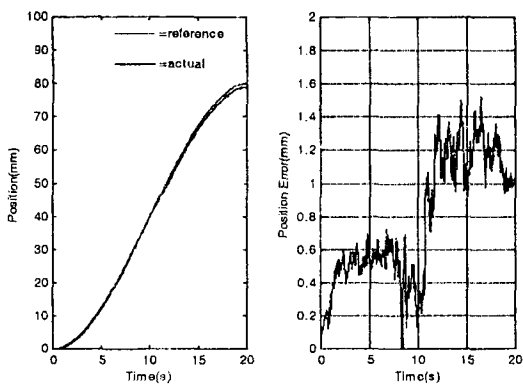


รูปที่ 5.32 ปลายแขนกลขณะที่ทิศทางของการควบคุมแรงและการควบคุมตำแหน่งมีการเปลี่ยนแปลงอย่างรวดเร็ว

Position Response

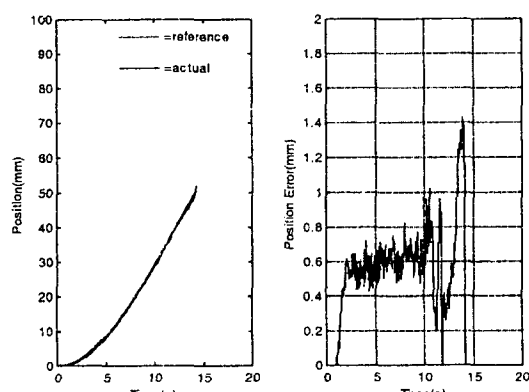


รูปที่ 5.33 แสดงค่าตำแหน่งของแขนกล ขณะที่เคลื่อนที่บนวัสดุที่รูปร่างไม่ต่อเนื่องเป็นเส้นตรงระยะ 80 มม. โดยมีขนาดแรงกด 5 นิวตัน การควบคุมแรงเป็นแบบเอกซ์เพลิชิก

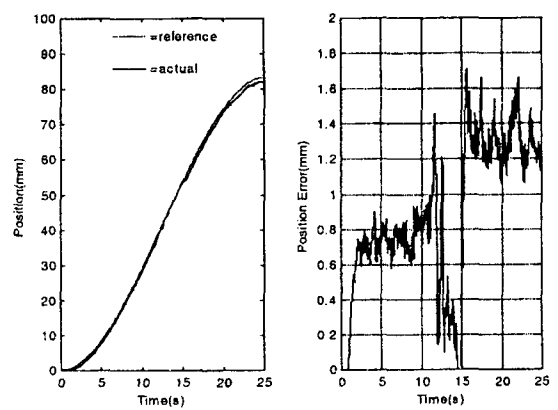


รูปที่ 5.34 แสดงตำแหน่งของแขนกล ขณะที่เคลื่อนที่บนวัสดุที่รูปร่างไม่ต่อเนื่องเป็นเส้นตรงระยะ 80 มม. โดยมีขนาดแรงกด 5 นิวตัน ซึ่งใช้การควบคุมแรงแบบอิมพลิชิก

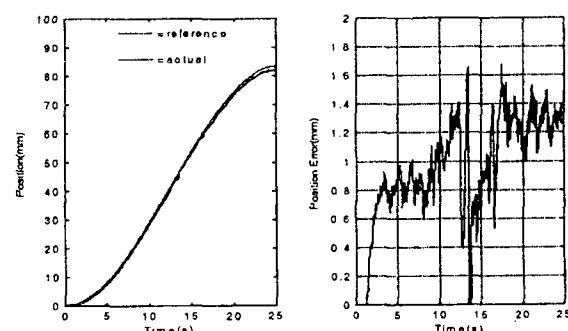
จากรูปที่ 5.33 – 5.38 เป็นผลตอบสนองของตำแหน่งปลายแขนกลขณะที่เคลื่อนที่เป็นเส้นตรงโดยมีสมการความเร็วเป็นสมการกำลังสอง เป็นระยะทาง 80 มม. บนวัสดุที่รูปร่างไม่ต่อเนื่องโดยแรงที่แขนกลกดมีค่า 5 นิวตัน, 10 นิวตัน, 15 นิวตัน ตามลำดับ ซึ่งเป็นการเปรียบเทียบระหว่าง การควบคุมแรงแบบเอกซ์เพลิชิก และ การควบคุมแรงแบบอิมพลิชิกที่มีการหาค่าหรือประมาณค่าความแข็งดึงแบบออนไลน์ ซึ่งผลปรากฏว่า เมื่อแขนกลเคลื่อนที่ถึงจุดที่พื้นผิวไม่ต่อเนื่อง ถ้าคำสั่งแรงที่ต้องการให้แขนกลกดวัสดุมีค่า 5 นิวตัน, 10 นิวตัน การควบคุมแรงแบบเอกซ์เพลิชิกทำให้เกิดความไม่เสถียรภาพขึ้น การควบคุมตำแหน่งก็ไม่เสถียรภาพตามไปด้วย แต่ถ้าคำสั่งแรงที่ต้องการให้แขนกลกดวัสดุมีค่า 15 นิวตัน นั้น การควบคุมแรงยังคงมีเสถียรภาพอยู่ ทำให้การควบคุมตำแหน่งก็ยังคงมีเสถียรภาพอยู่ด้วย ส่วนการควบคุมแรงแบบอิมพลิชิกนั้น ระบบยังคงเสถียรภาพไม่ว่าคำสั่งแรงที่ต้องการให้แขนกลกดวัสดุมีค่าเท่าไรก็ตาม



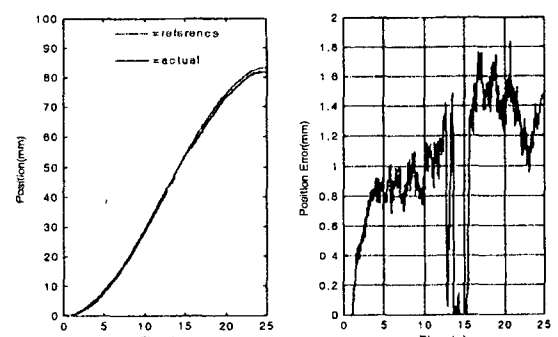
รูปที่ 5.35 แสดงตำแหน่งของแขนกล ขณะที่เคลื่อนที่บนวัสดุที่รูปร่างไม่ต่อเนื่องเป็นเส้นตรงระยะ 80 มม. โดยมีขนาดแรงกด 10 นิวตัน การควบคุมแรงเป็นแบบเอกซ์เพลิชิก



รูปที่ 5.36 แสดงตำแหน่งของแขนกล ขณะที่เคลื่อนที่บนวัสดุที่รูปร่างไม่ต่อเนื่องเป็นเส้นตรงระยะ 80 มม. โดยมีขนาดแรงกด 10 นิวตัน การควบคุมแรงเป็นแบบอิมพลิชิก



รูปที่ 5.37 แสดงตำแหน่งของแขนกล ขณะที่เคลื่อนที่บนวัสดุที่รูปร่างไม่ต่อเนื่องเป็นเส้นตรงระยะ 80 มม. โดยมีขนาดแรงกด 15 นิวตัน การควบคุมแรงเป็นแบบเอกซ์เพลิชิก



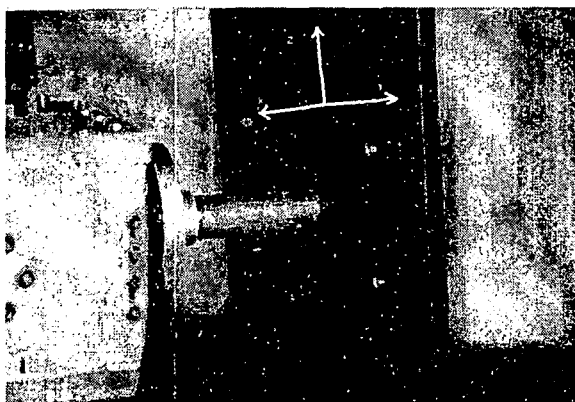
รูปที่ 5.38 แสดงตำแหน่งของแขนกล ขณะที่เคลื่อนที่บนวัสดุที่รูปร่างไม่ต่อเนื่องเป็นเส้นตรงระยะ 80 มม. โดยมีขนาดแรงกด 15 นิวตัน การควบคุมแรงเป็นแบบอิมพลิชิก

5.3 การทดลองควบคุมแรงกับผังแนวโน้มโดยควบคุมตำแหน่งในแนวแกน z หรือแกนที่ 3 ของแขนกล และควบคุมแรงในพื้นผิวระนาบ x - y หรือแกน 1, 2 ของแขนกล

การทดลองนี้เป็นการควบคุมแบบผสมระหว่างแรงและตำแหน่ง โดยควบคุมตำแหน่งในแนวแกน z หรือแกนที่ 3 และควบคุมแรงในพื้นผิวระนาบ x - y หรือแกน 1, 2 ซึ่งต่างจาก

การทดลองก่อนหน้านี้ เนื่องจากแต่ละข้อต่อของแขนกลนั้น จะควบคุมแรงหรือความคุณค่าแห่งเท่านั้น ตามรูปที่ 5.39 โดยที่แกน 1, 2 ของแขนกลจะควบคุมแรง ส่วนแกน 3 ของแขนกลจะควบคุมค่าแห่ง สำหรับการควบคุมแรงนั้นใช้วิธีควบคุมแรงแบบเอกซ์เพลิชิก

การทดลองเริ่มจากให้แขนกลอยู่ห่างจากวัสดุประมาณ 1 ซม. และควบคุมให้แขนกลเคลื่อนที่เข้าไปกดวัสดุเริ่มต้นด้วยแรง 5 นิวตัน, 10 นิวตัน, 15 นิวตัน ตามลำดับ และแขนกลจะเริ่มเคลื่อนที่โดยที่แกนที่ 3 จะเคลื่อนที่ขึ้นตามพื้นผิวโดยมีสมการความเร็วเป็นสมการกำลังสอง เป็นระยะทาง 80 มม. ส่วนแกน 1, 2 จะกดพื้นผิวด้วยแรงที่กำหนดโดยไม่เคลื่อนที่



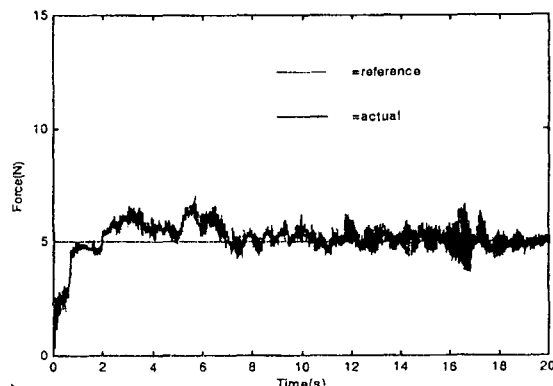
รูปที่ 5.39 แสดงแขนกลเคลื่อนที่บนผนังแบบ โดยควบคุมค่าแห่งในแนวแกน z หรือแกนที่ 3 ของแขนกล และควบคุมแรงในพื้นผิวราบ x - y หรือแกน 1, 2 ของแขนกล

รูปที่ 5.40 เป็นการทดลองควบคุมแรงที่ปลายแขนกล กระทำกับผนังแบบ โดยควบคุมค่าแห่งในแนวแกน z หรือแกนที่ 3 ของแขนกล และควบคุมแรงในพื้นผิวราบ x - y หรือแกน 1, 2 ของแขนกล ซึ่งใช้วิธีควบคุมแรงแบบเอกซ์เพลิชิก ผลตอบสนองของแรงที่ปลายแขนกลกระทำกับผนังแบบที่เคลื่อนที่มีเพียงแกนที่ 3 ซึ่งควบคุมค่าแห่งที่เคลื่อนที่ สำหรับค่าความผิดพลาดของแรงนั้นมีค่าประมาณไม่เกิน 2 นิวตัน

จากรูปที่ 5.41 เป็นผลตอบสนองของค่าแห่งที่ปลายแขนกลขณะที่เคลื่อนที่เป็นเส้นตรงในแนวแกน Z บนผนังแบบโดยมีสมการความเร็วเป็นสมการกำลังสอง เป็นระยะทาง 80 มม. ซึ่งพบว่าการเคลื่อนที่ของปลายแขนกลค่อนข้างเรียบและมีค่าความผิดพลาดโดยเฉลี่ยไม่ถึง 1 มม. ซึ่งเนื่องมาจากการที่แขนกลไม่สัมภัยในขณะที่ควบคุม ทำให้ค่าแห่งของปลายแขนกลค่อนข้างเรียบตามไปด้วยนั่นเอง

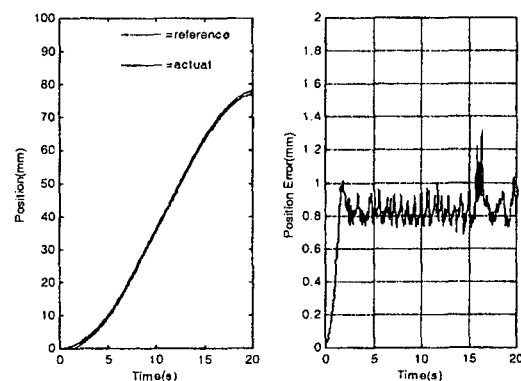
นั่นคือถ้าทำการควบคุมเพียงค่าแห่งหรือแรงเพียงอย่างเดียว ในแต่ละข้อต่อของแขนกล ผลตอบสนองที่ได้ออกมาค่อนข้างเรียบกว่าแบบที่ต้องควบคุมทั้งแรงและค่าแห่งไปพร้อมๆ กัน ในแต่ละข้อต่อของแขนกล

Force Response



รูปที่ 5.40 แสดงค่าแรงที่กระทำต่อปลายแขนกลขณะเคลื่อนที่บนผนังแบบ ขนาดแรง 5 นิวตัน ควบคุมค่าแห่งในแนวแกน z หรือแกนที่ 3 ของแขนกล และควบคุมแรงในพื้นผิวราบ x - y หรือแกน 1, 2 ของแขนกล

Position Response



รูปที่ 5.41 แสดงการเคลื่อนที่ของแขนกลบนผนังแบบ มีแรงสัมผัติ 5 นิวตัน โดยควบคุมค่าแห่งในแนวแกน z หรือแกนที่ 3 ของแขนกล และควบคุมแรงในพื้นผิวราบ x - y หรือแกน 1, 2 ของแขนกล

6. สรุปผลการวิจัย

การทดลองเรื่องการควบคุมแบบไข่บริดตัวยังแรงแบบอิมพลิชิกสำหรับแขนกลนี้ ใช้หุ่นยนต์จุพาร์ 2 เป็นหุ่นทดลอง โดยที่ปลายหุ่นยนต์มีอุปกรณ์ตรวจรู้แรงติดอยู่ ส่วนด้วยควบคุมนั้นใช้คอมพิวเตอร์เป็นตัวควบคุม ซึ่งโปรแกรมควบคุมนั้นเขียนขึ้นโดยใช้ภาษา C โดยมีความถี่ในการสูมข้อมูล 100 เฮิรตซ์ ซึ่งการทดลองนี้พยายามนำเอกสารควบคุมแรงแบบอิมพลิชิกมาใช้ให้เกิดประสิทธิภาพ เมื่อได้การควบคุมแรงแบบอิมพลิชิกที่มีประสิทธิภาพแล้วก็นำมาเปรียบเทียบกับการควบคุมแรงแบบเอกซ์เพลิชิกว่ามีความแตกต่างกันอย่างไร โดยทดลอง

ให้แขนกลกดพร้อมกับเคลื่อนที่บนชิ้นงานชนิดและรูปปั่งต่างๆ กัน

จากการทดลองนำการควบคุมแรงแบบอิมพลิชิกมาใช้ให้เกิดประสิทธิภาพนั้น ได้ทำการทดลองโดยใช้การควบคุมแรงแบบอิมพลิชิกที่มีการหาค่าหรือประมาณค่าความแข็งดึงแบบออนไลน์มาเปรียบเทียบกับการควบคุมแรงแบบอิมพลิชิกที่ให้ค่าความแข็งดึงคงที่ เพื่อศึกษาความแตกต่าง ซึ่งผลการทดลองปรากฏว่า การควบคุมแรงแบบอิมพลิชิกที่มีการหาค่าหรือประมาณค่าความแข็งดึงแบบออนไลน์ให้การตอบสนองของแรงที่เร็วกว่าการควบคุมแรงแบบอิมพลิชิกที่ให้ค่าความแข็งดึงคงที่ ส่วนการเปรียบเทียบระหว่างการควบคุมแรงแบบเอกซ์เพลิชิกและการควบคุมแรงแบบอิมพลิชิกนั้น พบร่วมกับกรณีที่เป็นชิ้นงานที่มีผิวแข็งและต่อเนื่อง วิธีการควบคุมทั้ง 2 แบบให้ผลที่ไม่แตกต่างกัน แต่ในกรณีที่ทำกับชิ้นงานที่มีความหยุ่นด้วง อ่อนตัวหรือรูปปั่งไม่ต่อเนื่องนั้นให้ผลที่ต่างกัน โดยสามารถสรุปเป็นข้อๆ ได้ดังนี้

- 1. ปัญหาหลักของการควบคุมแรงแบบอิมพลิชิกคือปัญหาการหาค่าระยะที่สั่งให้แขนกลดเพื่อให้ได้แรงตามที่ต้องการ ซึ่งจากการทดลองพบว่าการหาค่าความแข็งดึงแบบออนไลน์ ค่าระยะที่สั่งให้แขนกลดเพื่อให้ได้แรงตามที่ต้องการลู่เข้าสู่ค่าที่เหมาะสมกว่าแบบที่ให้ค่าความแข็งดึงคงที่ ซึ่งทำให้แรงที่สัมผัสลู่เข้าสู่ค่าที่ต้องการเร็วกว่าด้วย**
- 2. สำหรับชิ้นงานที่มีความอ่อนตัวซึ่งในการทดลองได้ใช้ไฟฟ้าเป็นวัตถุให้แขนกลด ผลปรากฏว่า การควบคุมแรงแบบเอกซ์เพลิชิกและการควบคุมแรงแบบอิมพลิชิกที่มีการหาค่าหรือประมาณค่าความแข็งดึงแบบออนไลน์ให้ผลต่างกัน โดยการควบคุมแรงแบบอิมพลิชิกให้ผลตอบสนองของแรงที่เร็วกว่า เนื่องจากระหว่างที่แขนกลกดลงในชิ้นงานและเคลื่อนที่ไปตามผิวชิ้นงานนั้น ปลายแขนกลมีการเคลื่อนที่ในทิศตั้งฉากกับผิวชิ้นงาน ซึ่งถ้าควบคุมตำแหน่งของปลายแขนกล มีผลให้ผลตอบสนองแรงติดกับการควบคุมแรงที่กระทำกับปลายแขนกล**
- 3. สำหรับการทดลองควบคุมผสมระหว่างแรงและตำแหน่งของแขนกลบนผนังแผ่นเหล็กที่มีความหยุ่นตัวนั้น ผลตอบสนองของแรงเมื่อควบคุมแรงแบบเอกซ์เพลิชิกและการควบคุมแรงแบบอิมพลิชิกให้ผลต่างกัน โดยการควบคุมแรงแบบอิมพลิชิกให้ผลตอบ**

สนองของแรงที่เรียบกว่า เช่นเดียวกับการทดลองกับชิ้นงานที่มีความอ่อนตัว ซึ่งถ้าสั่งเกตที่ผนังแผ่นเหล็กระหว่างที่แขนกลเคลื่อนที่อยู่บนพบร่วมกับการควบคุมแรงแบบเอกซ์เพลิชิกทำให้ผนังแผ่นเหล็กสั่นมากกว่าการควบคุมแรงแบบอิมพลิชิก

- 4. สำหรับการทดลองควบคุมผสมระหว่างแรงและตำแหน่งของแขนกลบนผนังแผ่นเหล็กที่มีความหยุ่นตัว โดยค่าแรงที่กระทำมีการเปลี่ยนแปลงแบบขั้นบันได (Step Change) นั้น ผลตอบสนองของแรงเมื่อควบคุมแรงแบบเอกซ์เพลิชิกและควบคุมแรงแบบอิมพลิชิกให้ผลต่างกัน โดยขณะที่แรงมีการเปลี่ยนแปลงนั้น ผลตอบสนองของแรงเมื่อควบคุมแรงแบบอิมพลิชิกไม่เกิดโอลาร์ชูตมากเหมือนกับการควบคุมแรงแบบเอกซ์เพลิชิก ซึ่งช่วงที่คำสั่งแรงมีการเปลี่ยนแปลงนั้นถ้าคำสั่งแรงมีค่าน้อยแล้ว การควบคุมแรงแบบเอกซ์เพลิชิกมีผลให้ปลายแขนกลหลุดออกจากวัตถุได้ เนื่องจากระบบไวต่อการเปลี่ยนแปลงพารามิเตอร์**

- 5. การควบคุมแบบอิมพลิชิกมีความไวต่อการเปลี่ยนแปลงพารามิเตอร์ของระบบต่อว่าการควบคุมแรงแบบเอกซ์เพลิชิก ดังดูได้จากการทดลองให้แขนกลกดและเคลื่อนที่บนชิ้นงานที่มีผิวแข็งแต่รูปปั่งไม่ต่อเนื่อง พบร่วมขณะที่แขนกลเคลื่อนที่ไปบนผิวต่อเนื่อง ทั้งการควบคุมแรงแบบเอกซ์เพลิชิกและการควบคุมแรงแบบอิมพลิชิกนั้นให้ผลเหมือนกัน แต่ว่าขณะที่แขนกลเคลื่อนที่ไปพับกับช่วงที่รูปปั่งวัตถุไม่ต่อเนื่อง ทิศทางของ การควบคุมแรง และการควบคุมตำแหน่งมีการเปลี่ยนแปลงอย่างรวดเร็ว ทำให้แขนกลหลุดออกจากผิว ซึ่งการควบคุมแรงแบบเอกซ์เพลิชิกนั้นทำให้แขนกลหลุดออกจากผิวมากกว่าจากการควบคุมแรงแบบอิมพลิชิก นั้น แขนกลหลุดออกจากผิวไม่มากนัก และกลับเข้ากระแทกผิววัตถุด้วยความเร็ว ทำให้ระบบไม่เสียบริภาพ ในขณะที่การควบคุมแรงแบบอิมพลิชิกนั้น แขนกลหลุดออกจากผิวไม่มากนัก และกลับเข้าสัมผัสใหม่ด้วยความเร็วค่อนข้างคงที่ ทำให้ไม่เกิดโอลาร์ชูตของแรงมากนัก ระบบจึงมีเสียบริภาพ**

- 6. เมื่อทำการทดลองโดยแยกแกนอิสระ โดยให้แกนที่ 3 ของแขนกล หรือแกน Z ควบคุมตำแหน่ง ส่วนแกน 1,2 ของแขนกล หรือแกน X,Y ควบคุมแรง ผลตอบสนองของแรงเรียบกว่าการควบคุมแรงและตำแหน่งในแนวแกน X,Y เนื่องจากแต่ละแกนนั้นควบคุมเพียงแค่แรงหรือไม่ก็ตำแหน่งเท่านั้น ซึ่งจากการทดลองนี้ทำให้สรุปได้ว่า การแยกแกนควบคุมตำแหน่งและควบคุมแรงออก**

จากกันโดยเด็ดขาด ทำให้ผลตอบสนองของแรงที่แขนกลสัมผัสกับวัตถุดีกว่าการที่การควบคุมแรงและการควบคุมตำแหน่งอยู่ในแกนเดียวกัน

7. สำหรับการควบคุมตำแหน่งนั้นพบว่าถ้าขึ้นลงไม่มีการอ่อนตัวหรือหยุดตัว และวัตถุมีรูปร่างต่อเนื่องแล้ว การควบคุมแรงแบบเอกสาร์พลิชิกและ การควบคุมแรงแบบอิมเพลชิกให้ผลไม่ต่างกัน นั่นคือปลายแขนกลสามารถเคลื่อนที่ไปตามทิศที่ต้องการได้อย่างดี โดยมีความผิดพลาดไม่เกิน 3 มม. แต่ถ้าวัตถุที่แขนกลด้มีการอ่อนตัว, หยุดตัวมาก การควบคุมแรงแบบเอกสาร์พลิชิกมีผลให้แขนกลวัดถูกแล้ว ทำให้วัตถุสั่นมาก ทำให้แขนกลมีการสั่นในแนวตั้ง ฉากกับวัตถุมาก ซึ่งมีผลให้การเคลื่อนที่ของปลายแขนกลในแนวสัมผัสกับวัตถุไม่เรียบตามไปด้วย ในขณะที่การควบคุมแรงแบบอิมเพลชิกบนวัตถุที่มีการอ่อนตัวหรือหยุดตัวนั้น วัตถุที่ถูกกดไม่มีการสั่นมากนัก ทำให้แขนกลมีการสั่นในแนวตั้งฉากกับวัตถุน้อย ซึ่งมีผลให้การเคลื่อนที่ของปลายแขนกลในแนวสัมผัสกับวัตถุค่อนข้างเรียบตามไปด้วย

จากการทดลองเห็นได้ว่าข้อดีของการนำวิธีควบคุมแรงแบบอิมเพลชิก เมื่อเปรียบเทียบกับการควบคุมแรงแบบเอกสาร์พลิชิก ในการนำมาใช้กับการควบคุมแบบผสมระหว่างแรงและตำแหน่งคือ ในกรณีที่วัตถุที่สัมผัสมีความอ่อนตัวนั้น ระบบจะมีผลตอบสนองของแรงและเสถียรภาพดีกว่าเมื่อพารามิเตอร์ของระบบมีการเปลี่ยนแปลงอย่างรวดเร็ว และในความเป็นจริงแล้ว คำสั่งที่ใช้ควบคุมทุ่นยนต์อุตสาหกรรมโดยทั่วไปเป็นคำสั่งของตำแหน่ง ดังนั้น วิธีการควบคุมแรงแบบอิมเพลชิกนี้ จึงนำไปประยุกต์ใช้ได้ง่ายกว่าวิธีการควบคุมแรงแบบเอกสาร์พลิชิก

รายการอ้างอิง

ภาษาไทย

- 1) ไพรัช ตั้งพรประเสริฐ, วิบูลย์ แสงวีระพันธุ์ศิริ, การควบคุมแขนกลแบบผสมระหว่างแรงและตำแหน่ง, เครื่องข่ายวิศวกรรมเครื่องกลครั้งที่ 11, 1997

ภาษาอังกฤษ

- 1) M. Raibert and J. Craig. Hybrid position/force control of manipulators. Journal of Dynamic

Systems, Measurement, and Control. Vol. 102, June 1981. : pp.126-133.

- 2) H. Hogan. Impedance Control; An Approach to Manipulation: Part I-Theory; Part II-Implementation; Part III- Applications. ASME Journal of Dynamic Systems, Measurement and Control. Vol. 107, March 1985. : pp.1-24
- 3) Seul Jung และ T.C. Hsia. On neural network application to robust impedance control of robots manipulators. in Proceedings of IEEE International Conference on Robotics and Automation. Vol.1, May 1995. : pp. 869-874
- 4) Luh, J.Y.S., Walker, M.W. and Paul, R.P.C.. Resolved Acceleration Control of Mechanical Manipulations. I.E.E.E. Trans. Automatic Control. 25,3(1980b)
- 5) Tsuneo Yoshikawa and Akiko Sudou. Dynamic Hybrid Position/Force Control of Robot Manipulators: On-Line Estimation of Unknown Constraint. I.E.E.E. Trans. On Robotics and automation. Vol. 9, April 1993.
- 6) Dragan M. Stokic and Miomir K. Vukobratovic. An adaptive hybrid control scheme for manipulation robots with implicit force control. I.E.E.E. International Conference on Advanced Robotics. Vol. 2 , 1991. :pp. 1505-1508
- 7) Paul, R.,and Shimano,B.. Compliance and Control. Joint Automatic Control Conference. San Francisco, 1976.
- 8) John J. Craig. Introduction to Robotics mechanics and control. :Silma, Inc., 1989.